

**O'ZBEKISTON RESPUBLIKASI OLIY VA O'RTA MAXSUS  
TA'LIM VAZIRLIGI**

**ISLOM KARIMOV NOMIDAGI TOSHKENT DAVLAT  
TEXNIKA UNIVERSITETI**

**ELEKTR ENERGIYASINING SIFAT KO'RSATKICHLARI**

fanidan 5A310201 - Elektr ta'minoti (sanoat korxonalari va  
shaharlar) mutaxassisligi talabalari uchun

**USLUBIY KO'RSATMALAR**

Toshkent - 2017

## **UDK 621.314**

**Tuzuvchilar:** Rasulov A.N., Bahodirov I.I. va Meliqo‘ziyev M.V. “Elektr energiyasining sifat ko‘rsatkichlari” amaliy mashg‘ulotlar uchun uslubiy ko‘rsatma. – Toshkent: ToshDTU, 2017. - 60 b.

“Elektr energiyasining sifat ko‘rsatkichlari” fanidan amaliy mashg‘ulotlar uchun uslubiy ko‘rsatma “5A310201 - Elektr ta’minoti” (sanoat korxonalari va shaharlar) mutaxassisligi talabalarining fanni o‘zlashtirish jarayonida olgan nazariy bilimlarini kengaytirish va mustahkamlashni o‘ziga maqsad qiladi.

Amaliy mashg‘ulotlar jarayonida talabalarning amaliy jihatdan mahoratlari o‘sib, amaliy mashg‘ulotlarni sohaga oid ma’lumotnoma materiallaridan mustaqil foydalangan holda yechish usullarini o‘rganadilar.

*Islom Karimov nomidagi Toshkent davlat texnika universiteti ilmiy-uslubiy kengashining qaroriga asosan chop etilgan.*

## **Taqrizchilar:**

Xoshimov F.A. – MChJ “Ilmiy texnik markaz” O‘zbekenergiya AJ, “Energetika, energiya samaradorlik va energiya tejamkorlik” laboratoriya mudiri, t.f.d., professor

Taslimov A.D. – ToshDTU “Elektr ta’minoti” kafedrasi dotsenti

## KIRISH

Sanoatda elektr energiyasining asosiy tavsifini o‘zgartiradigan xarakterli katta quvvatdagi nochiziqli, nosimmetriyali va keskin, o‘zgaruvchan yuklamalarni ishlatalish elektr jihozlari va elektr tarmoqlarida elektromagnit birgaligi muammolarini yuzaga keltiradi. Elektromagnit birgaligi bu – elektr energiya iste’molchilarining normal ish tartibida ishlashi va elektr tarmog‘ida boshqa iste’molchilarning birgalikda ishlashini murakkablashtiradigan o‘zgarishlarni qabul qilmaslik.

Yomonlashgan elektromagnit birligida birinchi navbatda elektr energiyasining sifati pasayadi. Elektr ta’minoti tizimida elektr iste’molining eng yaxshi holati, ularning bir yoki uch fazali simmetriyali, berilgan amplituda va  $50\text{ Hz}$  chastotali sinusoidal shaklli kuchlanishdan ta’minlanishidir. Ammo elektr tarmoqlarida har xil elektromagnit to’siqlar ta’sirida ushbu ko’rsatkichlarning og‘ishi natijasida elektr energiya qurilmalarining ishlashi yomonlashadi. Bu o‘z navbatida texnik-iqtisodiy ko’rsatkichlarni yomonlashtiradi.

Elektr energiyasi sifatining pasayishi ayrim elektr iste’molchilarining ishlashiga, energotizim parametrlarining to‘liq me’yorida bo‘lishiga salbiy ta’sir ko’rsatadi. Elektr tarmoqlarida elektr energiyasi sifatining pasayishi quyidagi salbiy oqibatlarga olib keladi:

- elektr tarmog‘ining barcha elementlarida elektr energiya isrofining ortishiga;
- mashinalarning aylanuvchi qismini qo‘srimcha qizishiga, izolyatsiya eskirishining tezlashishiga, elektr qurilmalari ishlash muddatining qisqarishiga;
- elektr energiyasi iste’moli va elektr qurilmalari iste’mol quvvatining oshishiga;
- releli himoya va avtomatika qurilmalarining xatolik bilan ishga tushishiga;
- teleradio apparatlarining ishlashiga, elektr boshqarish tizimi va hisoblash texnikasining ishdan chiqishiga;
- aloqa liniyasi va temir yo’llarining avtomatlashirilgan tizimlariga salbiy ta’sir etadi;
- sanoat korxonasining xo‘jalik faoliyatiga salbiy ta’sir etadi va b.q.

Elektr tizimlari o‘rtasidagi elektr aloqalar elektr energiyasi sifatini pasayish salbiy ta’sirini anchaga kengaytiradi va shu bilan birga elektromagnit birligi muammolarini kuchaytiradi. Bu esa o‘z navbatida

elektr energiyasi sifatini elektr ta'minotiga ulangan nuqtadan tashqari, elektr tarmog'ining barcha nuqtalarida baholash va nazorat qilish zarurligini yuzaga keltiradi.

Elektr tarmoqlarini ishlatish jarayonida elektr energiyasi sifatiga ahamiyat bermaslik, iste'molchilar elektr ta'minotini yomonlashishiga va ular ishining buzilishiga olib keladi. Shuning uchun elektr tarmoqlarining barcha nuqtalarida elektr energiyasi sifatini baholash masalalarini o'rghanish energetik muhandislar tayyorlashning muhim vazifalaridan biri bo'lib hisoblanadi.

## **Elektr energiyasi sifatining asosiy ko'rsatkichlari tavsifi**

Elektr energiyasi tovar sifatida o'zining bir qator xususiyatlariga ega. U boshqa turdag'i mahsulotlarni tayyorlashda ishlatiladi va ishlab chiqarish ko'rsatkichlari, mahsulotning sifatiga katta ta'sir ko'rsatadi. Elektr energiya sifati tushunchasi boshqa turdag'i mahsulot sifatidan farq qiladi, chunki elektr energiyasi sifati elektr energiya iste'molchilarining sifatli ishlashini ta'minlaydi. Ma'lumki, elektr ta'minoti tizimi elektr tarmoqlari qurilmalari va ko'pgina elektr iste'molchilarini nominal kuchlanishda(bir fazali yoki simmetriyali uch fazali) sinusoidal shaklli va nominal chastotada normal ish holatida bo'ladi. Elektr stansiyalarida elektr energiya nominal qiymatlarda ishlab chiqariladi. Elektr energiya parametrlari uni elektr tarmoqlari elementlari orqali uzatishda, uni birinchi navbatda har xil nochiziqli, nosimmetriyali va keskin o'zgaruvchan tavsifli (katta quvvatli yarim o'tkazgichlar, elektr yoy pechlari, payvandlash qurilmalari, prokat stanlarining bosh yuritmalari va h.k.) iste'molchilarining iste'moli jarayonida o'zgaradi.

Shunday qilib, elektr energiyasi sifati elektr tizimi tugunlaridagi tartib parametrlari (kuchlanish va chastota) bilan tavsiflanadi. Ushbu parametrlarning nominal qiymatdan og'ishi (xususiyatiga bog'liq holda tez va uzoq vaqt bo'lishi) kuch iste'molchilar, avtomatika tizimi, telemexanika va releli himoya qurilmalari ishiga salbiy ta'sir ko'rsatadi. Elektr ta'minoti tizimining ishlash ishonchlilagini pasaytiradi, elektr energiya isrofini oshiradi, chiqarilayotgan mahsulot sifatini pasaytirib, sonining kamayishiga olib keladi. Bularning barchasi elektr energiya sifati muammolarini yuzaga keltiradi va energiya sifati miqdorini baholash uchun ko'rsatkichlar tizimi zarurligini ko'rsatadi.

Asosiy me'yoriy hujjat ГOCT 13109-97 bo'lib, unda elektr tarmoqlaridagi barcha ishlataladigan elektr energiyasi sifati ko'rsatkichlariga bo'lgan talablar ko'rsatilgan.

ГOCT 13109-97 ga asosan elektr energyaning sifat ko'rsatkichlari energotizim tarmoqlarining turg'un tartibli ishlashida ishlab chiqarishning texnologik xususiyati, uzatish, taqsimlash va iste'mol qilishdagi o'zgarishlar bilan tavsiflanadi. Bularga kuchlanish va chastotaning og'ishi va tebranishi, kuchlanishning sinusoidal shaklining buzilishi, kuchlanish nosimmetriyasi kiradi. Bu ko'rsatkichlarning ruxsat etilgan qiymatlari ГOCT 13109-97 da ko'rsatilgan.

Ko'rsatkichlarning boshqa qismi elektr tarmoqlaridagi kommutatsiya jarayonlari, momaqaldiroq va atmosferadagi holatlar, avariyanadan keyingi tartiblarda himoya vositalari va avtomatikaning ishlashida yuzaga keladigan qisqa muddatli to'siq bilan tavsiflanadi. Bunga kuchlanish impulsi, yo'qolishi va elektr ta'minotidagi uzilishlar kiradi. Elektr energiyasining ushbu sifat ko'rsatkichlari uchun ГOCT 13109-97 ruxsat etilgan qiymat o'rnatmaydi. Ammo ko'rsatkichlarning amplitudaviy chastotani o'zgarish vaqt o'lchanishi va elektr tarmog'i uchun qisqa muddatli to'siq yuzaga kelish ehtimoli borligi sababli statik ma'lumotlar yig'ilishi kerak.

ГOCT 13109-97 ga muvofiq quyidagilar elektr energiyasining asosiy sifat ko'rsatkichlari hisoblanadi:

1. Chastotaning og'ishi,  $\Delta f$ , Hz;
2. Chastotaning tebranishi,  $\delta f$ , %;
3. Kuchlanishning og'ishi,  $\Delta u$ , %;
4. Kuchlanishning tebranishi,  $\delta u$ , %;
5. Kuchlanish egri chizig'inining nosinusoidallik koeffitsiyenti,  $K_U$ , %;
6. Kuchlanishning nosimmetriya koeffitsiyenti,  $K_{2U}$ , %.

Bu sifat ko'rsatkichlari uchun ГOCT 13109-97 da me'yoriy ruxsat etilgan qiymatlari kiritilgan. Bunda ikki turdag'i me'yoriy ruxsat etilgan va uning chegaraviy qiymati o'rnatilgan. O'lchangan yoki hisoblangan elektr energiyasining sifat ko'rsatkichlari ruxsat etilgan chegaraviy me'yordan, shuningdek, 95% ehtimollik bilan aniqlangan ushbu ko'rsatkich qiymatlari me'yoriy ruxsat etilgan qiymatdan oshmasligi kerak.

Elektr energiyasining tegishli me'yoriy sifat ko'rsatkichlari 24 soatli hisoblash oralig'ida baholanishi kerak. Elektr energiyasining sifat ko'rsatkichlarini davom etadigan hamma vaqt oralig'ida ruxsat etilgan va o'zgaradigan qiymatlarini baholashga ruxsat etiladi. Bunda sutkaning

95% ida (yoki 22,8 soatida) sifat ko‘rsatkichlari ruxsat etilgan me’yoriy qiymatdan va sutka davomida chegaraviy qiymatdan oshmasligi kerak.

Elektr energiyasi sifatini o‘rganishda quyidagi ko‘rsatkichlarga e’tibor berish kerak: kuchlanish va chastotaning og‘ishi, kuchlanishning tebranishi, kuchlanish egri chizig‘i shaklini sinusoidadan og‘ishi va kuchanish nosimmetriyasi.

# 1 - AMALIY MASHG'ULOT

## KUCHLANISH OG'ISHINI HISOBLASH VA QIYMATINI BAHOLASH

Kuchlanishning og'ishi - bu kuchlanishning turg'un og'ish qiymati bilan tavsiflanadi. Elektr energiyasi iste'molchilar qisqichlarida kuchlanish og'ishi elektr tarmog'ining nominal kuchlanishidan  $\pm 5\%$  va  $\pm 10\%$  ga teng miqdordagi me'yoriy va chegaraviy ruxsat etilgan turg'un me'yor qiymati o'rnatilgan.

Qisqichlardagi ko'rsatkichlarning ruxsat etilgan qiymatlardan o'zgarishiga quyidagilar ta'sir ko'rsatadi:

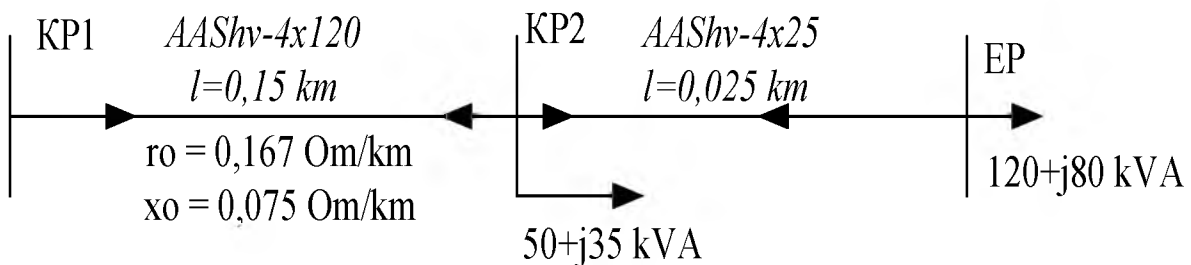
- Yuklama tokining sutkali, mavsumli va texnologik o'zgarishi;
- Generatorlar va kompensatsiya qurilmalari quvvatining o'zgarishi;
- Elektr tarmog'i sxemasi va parametrlarining o'zgarishi.

Elektr tarmog'ining har qanday tugunida kuchlanish og'ishi quyidagi ifoda yordamida aniqlanadi:

$$\Delta U = \frac{U_{NOM} - U}{U} * 100\% \quad (1.1)$$

### Mustaqil yechish uchun namunali misollar

1.1-misol. 1.1-rasmida ko'rsatilgan elektr iste'molchining qisqichidagi kuchlanish og'ishini hisoblang va uni ruxsat etilgan (ГОСТ 13109-97) qiymat bilan taqqoslang. Agar zarur bo'lsa, kuchlanishni nominal qiymatga keltirish chorasini qo'llang. KP1 dagi kuchlanish 385 V deb qabul qilingan.



1.1-rasm. Kuchlanish og'ishini hisoblash sxemasi

Yechish. Kuchlanish isrofi quyidagi ifodadan aniqlanadi:

$$\Delta U = \frac{P * R + Q * X}{U} \quad (1.2)$$

bu yerda,  $R$  va  $X$  aktiv va induktiv qarshiliklar bo‘lib, u quyidagicha aniqlanadi:  $R=r_0*l$ ;  $X=x_0*l$ .

KP1-KP2 uchastka orasidagi kuchlanish isrofi:

$$\Delta U = \frac{(120 + 50) * 0,167 * 0,15 + (80 + 35) * 0,075 * 0,15}{0,38} = 14,6V$$

KP2-EP uchastkadagi kuchlanish isrofi:

$$\Delta U = \frac{120 * 0,326 * 0,025 + 80 * 0,075 * 0,025}{0,38} = 2,97V$$

Unda KP1-EP uchastkadagi kuchlanish isrofi quyidagiga teng bo‘ladi:

$$\Delta U_{\Sigma} = \Delta U_{KP1-KP2} + \Delta U_{KP2-EP} = 14,6 + 2,97 = 17,57V$$

yoki

$$\Delta U_{\Sigma} = \frac{17,57}{380} * 100\% = 4,62\%$$

Iste’molchi qisqichlaridagi kuchlanish quyidagiga teng bo‘ladi:

$$U_{EGG} = V_{SP1} - \Delta U_{\Sigma} = 385 - 17,57 = 367,43 V$$

Iste’molchi qisqichidagi kuchlanish (1.1) ifodaga asosan kichik:

$$\Delta U = \frac{367,43 - 380}{380} * 100\% = -3,3\%$$

ГОСТ 13109-97 ga asosan  $\Delta U_{rux} = \pm 5$ . Shunday qilib, EP qisqichidagi kuchlanishning og‘ishi ruxsatlangan oraliqda.

1.2-misol. Sex transformator podstansiyasiga TM-400/10 turli  $S_N=400$  kVA quvvatli transformator o‘rnatilgan, qisqa tutashuv kuchlanishi  $U_{qt}=4,5\%$ , qisqa tutashuv quvvat isrofi  $\Delta P_{qt}=5,5$  kVt. Transformator yuklamasi  $S_{YU}=380$  kVA,  $\cos\varphi=0,8$ . Transformator qisqichlari  $10 \pm 2 \times 2,5\% / 0,4$  kV kuchlanishga ega, transformator YUK tomonidan 10,5 kV kuchlanishni ( $U_I=5\%$ ,  $U_{NI}=0$ ) ushlaydi.

Transformatorni  $+2,5\%$  ( $U_{0I}=2,5\%$ ,  $U_{0II}=5\%$ ) shoxobcha bilan ulaganda, PK tomonidagi kuchlanishning og‘ishini aniqlang.

Yechish. Berilgan yuklama va transformatorning parametrlarida transformatordagagi kuchlanish isrofini aniqlaymiz:

$$\begin{aligned} \Delta U_T &= \frac{S}{S_N} \left( \frac{\Delta P_{qt}}{S_N} \cos \varphi + U_{qt} \sin \varphi \right) \approx \frac{Q}{S_N} U_{qt} = \frac{380}{400} \left( \frac{5,5}{400} * 0,8 + 0,45 * 0,6 \right) = \\ &= 0,95 * (1,12 + 2,7) * 10^{-2} = 3,6 * 10^{-2} = 3,6\% \end{aligned}$$

Berilgan +2,5% shoxobchaga ulanishda berilgan kuchlanish og‘ishini hisobga olib, transformatorning PK tomonidagi kuchlanish og‘ishini aniqlaymiz:

$$U_{II}=V_I+V_{OII}-V_{OI}-\Delta U_{TR}=V_I+E-\Delta U_T=5+5-0-2,5-3,6=3,9\%$$

ruxsatlangan oraliqda.

1.3-misol. Korxonaning BPPga TDN-16000/115 markali quvvati  $S=16$  MVA, YUOR (yuklama ostida rostlovchi) qurilmaga ega,  $\pm 16\%$  oraliqda rostlovchi ( $\pm 9\%$  pog‘onali  $\pm 1,78\%$  dan) YUK tomonidan asosiy chiqishdagi nominal kuchlanish  $U_{NOMI}=115$  kV( $V_{NOMI}=4,4\%$ ) va PK tomonidan  $U_{NOMII}=11$  kV( $V_{NOMII}=10\%$ ), qisqa tutashuv kuchlanishi  $U_{qt}=10,5\%$  transformator o‘rnatilgan.

Eng katta yuklama tartibida  $P_I=15$  MVt,  $Q=7$  MVAr transformatorlarni YUK tomonida  $U_I=118$  kV ( $V_I=7,2\%$ ) kuchlanish ushlaniladi, PK tomonidagi kerakli kuchlanish  $U_I=118$  kV ( $V_I=7,2\%$ ).

Eng kichik kuchlanish tartibida  $P=5$  MVt,  $Q=3$  MVar transformatorni  $U_I=115$  kV ( $V_I=4,4\%$ ), PK tomonidagi kerakli kuchlanish  $U_{II}=10$  kV ( $V_{II}=0\%$ ).

Ko‘rsatilgan tartiblarda transformatorni rostlash oralig‘ida YUOR  $\pm 16\%$  ning to‘g‘riligini tekshiring.

Yechish. Eng katta va eng kichik yuklamalarda transformatordagи kuchlanishning isrofi:

$$\Delta U_{E\text{Kat.}} = \frac{Q^* \Delta U_k}{S_{NT}} = \frac{7 * 10,5}{16} = 4,6\% \quad \Delta U_{E\text{Kich.}} = \frac{3 * 10,5}{16} = 2\%$$

Eng katta yuklama tartibida shoxobchaning ish holatini aniqlash uchun  $V_{OI}$  qiymatini aniqlaymiz:

$$V_{II} = V_I + V_{OII} - V_{OI} - \Delta V_T = 7,2 + 10 - 4,4 - 5 - 4,6 = 3,2 \%$$

Bunga eng yaqin standart shoxobcha  $2 * 1,78 \%$ .

Xuddi shunday eng kichik yuklamada:

$$V_{OI} = 4,4 + 10 - 4,4 - 0 - 2 = 8 \%, \text{ bunga eng yaqin shoxobcha } 4 * 1,78\%.$$

Shunday qilib, TDN-16000/115 transformatoriga o‘rnatilgan YUOR qurilmasining rostlash oralig‘i trasformatorni PK tomonida kuchlanishning kerakli darajada ushlanishini ta’minlaydi.

## **Mustaqil yechish uchun misollar**

1.1-misol. Rayon podstansiyasiga TDN-25000/110 markadagi transformator o‘rnatilgan. Maksimal yuklamada transformatorning birlamchi chulg‘amining kuchlanishi 105,8 kV ga, minimal yuklamada esa 108,5 kVga teng. Maksimal yuklamada kuchlanish yo‘qotilishi -  $\Delta U_{TR}^I=3,6\%$ , minimalda -  $\Delta U_{TR}^{II}=1,8\%$ . Agar podstansiyada qarama-qarshi rostlash amalga oshirilsa, rostlash oralig‘ini aniqlang.

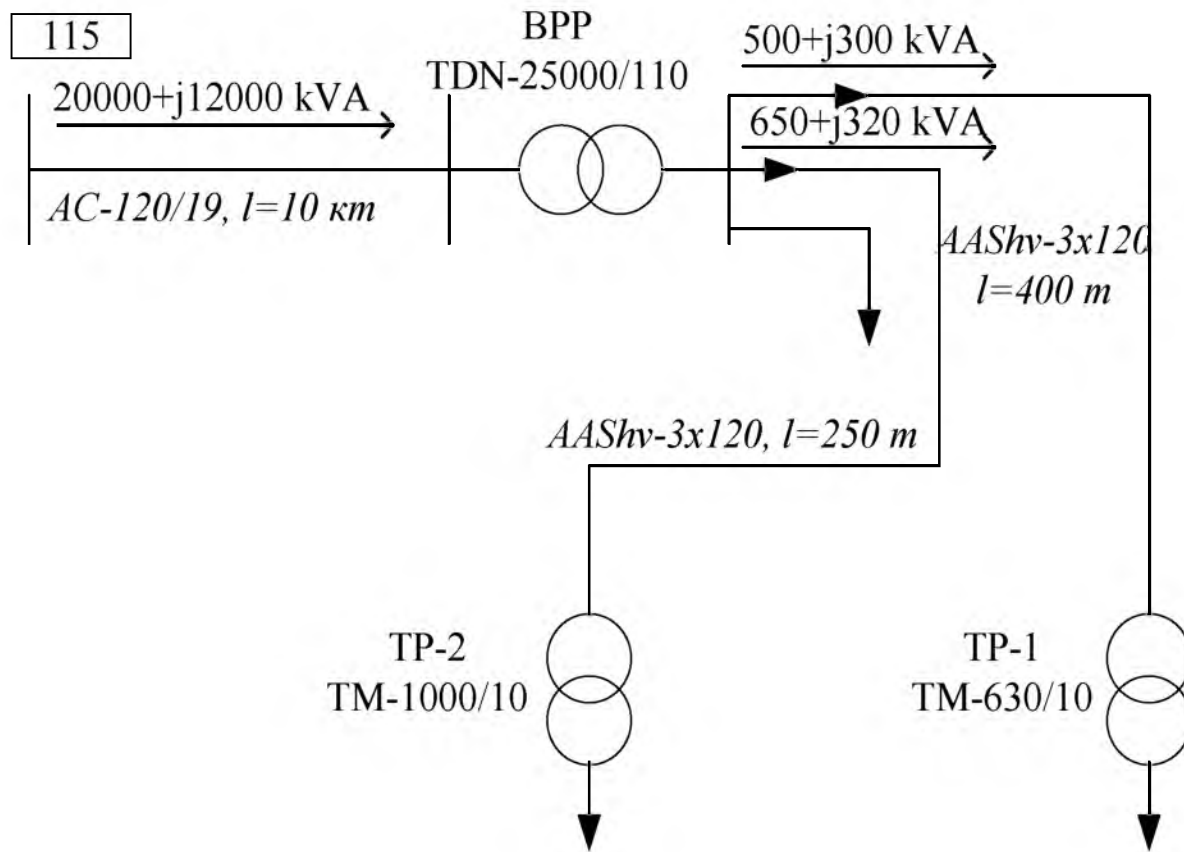
1.2-misol. (310+j320) kVA yuklamani ta’minlaydigan liniyadan tashkil topgan ( $R_I=1,2$  Om  $X_I=3,2$  Om) tarmoq va TM-400/10 turli transformatororda ( $R_T=3,5$  Om;  $X_T=11,1$  Om) quvvat isrofini kamaytirish uchun  $Q_{KB}=300$  kVAr quvvatli kondensator batareya o‘rnatilgan. Maksimal yuklamada kondensator batareya ulanganda, transformator shoxobchasini tanlash kerakki, transformatorni PK shinasida  $0 \leq V_{OI} \leq 5\%$  ta’minlansin. Sutka davomida ( $\beta_1=1$ ;  $\beta_2=0,8$ ;  $\beta_3=0,5$ ;  $\beta_4=0,3$ ;) yuklama o‘zgorganida va tegishli ta’minlash markazdagi kuchlanish og‘ishida ( $V_{N1}=-4\%$ ;  $V_{N2}=-1\%$ ;  $V_{N3}=0\%$ ;  $V_{N4}=2\%$ ) transformator PK shinasida kuchlanishning og‘ishi tegishli oraliqda bo‘lishini ta’minlash uchun kondensator batareyasi quvvatini qanday rostlashni aniqlang.

1.3-misol. Qarama-qarshi rostlash amalga oshirilgan rayon podstansiyasidan korxonaning bosh pasaytiruvchi podstansiyasi ta’minlanadi. BPP ta’minlaydigan liniyada maksimal yuklamada kuchlanish yo‘qotilishi:  $\Delta U_L^I=7\%$ , minimalda:  $\Delta U_L^{II}=2,5\%$ . Ushbu podstansiya transformatorida kuchlanish yo‘qotilishi maksimal yuklamada:  $\Delta U_{TR}^I=5,2\%$ , minimalda:  $\Delta U_{TR}^{II}=1,8\%$ . BPP ning shinasida qarama-qarshi rostlashni ta’minlash uchun TDN-16000/110 transformatori qaysi shoxobchada ishlashi kerak.

1.4-misol. Korxonaning bosh pasaytiruvchi podstansiyasiga TRDSN-160000/220 markali transformator o‘rnatilgan bo‘lib, birlamchi chulg‘amda kuchlanishning og‘ishi maksimal yuklamada:  $V_I^I=1\%$ , minimal yuklamada:  $V_I^{II}=1\%$ . Transformatororda kuchlanish yo‘qotilishi tegishli:  $\Delta U_{TR}^I=5,2\%$ , minimalda:  $\Delta U_{TR}^{II}=3\%$ . Podstansiyada maksimal yuklamada kuchlanishni nominal qiymatdan 10% katta, minimal yuklamada esa nominalga teng holda ushlash kerak. Transformatorning rostlash oralig‘ini aniqlang.

1.5-misol. Agar transformatorning YUK shinasida maksimal yuklamada kuchlanishning og‘ishi:  $V_I^I \leq -4\%$ , minimal yuklamada:  $V_I^{II} \leq 2\%$ , transformatorda kuchlanish og‘ishi tegishli:  $\Delta U_{TR}^I = 6,5\%$  va  $\Delta U_{TR}^{II} = 2,8\%$  bo‘lsa, TMN-400/110 markali transfromatorda qarama-qarshi rostlashga erishish mumkin.

1.6-misol. Yaqin joylashgan (TP-2) va uzoq joylashgan (TP-1) 0,38 kV shinasiga ulangan iste’molchilar qisqichlaridagi kuchlanish og‘ishini ruxsat etilgan oralig‘idaligini baholang (1.2-rasm).



1.2-rasm. 1.6-misolni yechish uchun sxema

#### Nazorat savollari

1. Kuchlanish og‘ishi nima?
2. Kuchlanish og‘ishi qanday formula bilan topiladi?
3. Kuchlanish isrofiga qaysi parametrlar ta’sir qiladi?

## 2 - AMALIY MASHG'ULOT

### RUXSAT ETILGAN KUCHLANISH TEBRANISHINI BAHOLASH

Kuchlanish tebranishi deb, me'yoriy ish tartibi buzilganda, masalan katta quvvatli elektr motorlari va boshqalar ulanganda qisqa vaqtli kuchlanish o'zgarishiga aytildi.

Kuchlanishning tebranishi keng ko'lamda kuchlanish o'zgarishi  $U = (U_{MAX} - U_{MIN})/U_{NOM}$  va kuchlanishning o'zgarish chastotasi  $F = m/T$  bilan tavsiflanadi. Bu yerda,  $m$  - kuchlanishning sekundiga 1% dan kam bo'limgan o'zgarish tezligida,  $T$  - vaqt oralig'ida o'zgarishlar soni.

Ko'rsatkichlarning me'yoriy chegaradan chiqishining asosiy sabablari, quvvatning (asosan reaktiv quvvat) keskin o'zgarishi bilan bog'liq tez o'zgaruvchan ish tartibli elektr iste'molchilarni ishlatishtdir. Kuchlanish tebranishini yuzaga keltiruvchi eng ko'p tarqalgan elektr iste'molchilari quyidagilar:

- Tortuvchi podstansiyalar;
- Prokat stanlarini o'zgaruvchan yuritmalari;
- Yoysi po'lat erituvchi pechlar;
- Payvandlash qurilmalari;
- Elektroliz qurilmalari.

0,38 kV kuchlanishli elektr tarmoqlarida ulanish nuqtalaridagi ruxsatlangan kuchlanishning chegaraviy nominaldan o'zgarishi  $\pm 10\%$  ga teng.

Zarbali tez o'zgaruvchan yuklama bo'lган iste'molchilar kuchlanishining keng ko'lamda o'zgarishini hisoblashda quvvat yoki tok liniyali qonun asosida bir xil tezlikda o'sadi yoki kamayadi deb hisoblanadi. Sanoat chastotasida kuchlanish o'zgarishining davom etish oralig'i o'tkinchi jarayonlar vaqtidan kam bo'lmaydi, deb qabul qilinadi.

Tarmoqda kuchlanishning keng tebranish qiymati quyidagi ifodadan aniqlanadi:

$$\delta U_t = \frac{\Delta P * r + \Delta Q * x}{U} \quad (2.1)$$

Bu yerda,  $\Delta P$ ,  $\Delta Q$  - yuklama o'zgargandagi eng katta va oldingi tartibdagi qiymat orasidagi farq bilan aniqlanadigan aktiv va reaktiv quvvatlarning keng tebranishi;  $r$ ,  $x$  - tarmoqning aktiv va reaktiv qarshiliklari;  $U$  - elektr energiya iste'molchisi ulangan tarmoq tugunidagi kuchlanish.

Shuningdek,  $\frac{\Delta P * r}{U} \ll \frac{\Delta Q * x}{U}$  bo‘lganida  $\delta U_t = \frac{\Delta Q * x}{U}$ .

Foiz hisobida  $\delta U_t = \frac{\Delta Q * x}{U^2} * 100\%$  yoki  $\delta U_t = \frac{\Delta Q}{S_{QT}} * 100\%$  (2.2)

bu yerda,  $S_{QT}$  - tez o‘zgaruvchan yuklama ulangan joydagi qisqa tutashuv quvvati.

Yoyli po‘lat erituvchi pechlar uchun kuchlanishning keng tebranishi quyidagi munosabatdan aniqlanadi:

bir dona pech uchun

$$\delta U_t = \frac{S_{PT}}{S_{QT}} * 100\% \quad (2.3)$$

bu yerda,  $S_{PT}$  - pech transformator quvvati,  $S_{QT}$  - yoyli po‘lat pechlari ulangan joydagi qisqa tutashuv quvvati.

Bir xil quvvatli bir nechta pechlar uchun

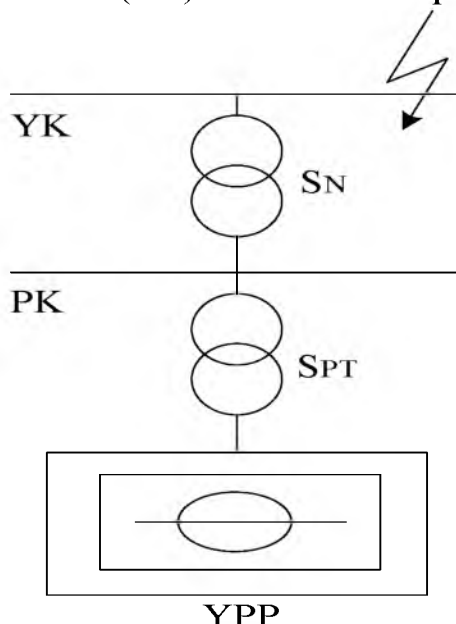
$$\delta U_t = \frac{S_{PT}}{\sqrt[4]{N}} * 100\% \quad (2.4)$$

bu yerda,  $N$  – bir xil quvvatli pechlar soni:

Har xil quvvatli bir nechta pechlar uchun

$$\delta U_t = \frac{S_{PT\_MAX}}{S} \sqrt[4]{\frac{\sum_{i=0}^n S_{PTi}}{S_{PT\_MAX}}} * 100\% \quad (2.5)$$

2.1-rasmdagi pechning ulanish sxemasida YK shinasida kuchlanishning keng tebranishi (2.5) ifodadan aniqlanadi.



2.1-rasm. Yoyli po‘lat pechining ulanish sxemasi

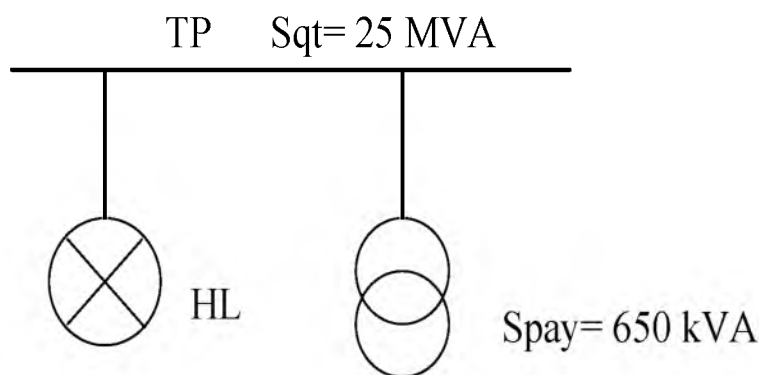
$$\delta U_t = \frac{S_{PT}}{S_q} * (I + \frac{S_{kq.t..T}}{S_{T.nom}} * \frac{U_k}{100}) * 100\% \quad (2.6)$$

O‘rnatilgan talablarga asosan yoritish qurilmalari uchun ruxsatlangan kuchlanish tebranish kengligining to‘g‘ri kelishini tekshirish uchun quyidagi tengsizlik bajarilishi kerak:

$$\sum_{i=0}^n \Delta t_{di} \leq T$$

$T$  – kuzatilayotgan umumiyligi tebranish vaqt;  $\Delta t_{di}$  - tebranish amplitudalari orasidagi eng kichik ruxsatlangan vaqt oralig‘i.

2.1-misol. 2.2-rasmida ko‘rsatilgan tarmoqdagi kuchlanish tebranishini baholang.



2.2-rasm. Kuchlanishning tebranishi

Payvandlashnining ishlash vaqtiga  $T_p = 3$  daqqa. Bunda kuchlanish  $m = 120$  marta tebranadi. Hisobiy kuchlanishning tebranish kengligi:

$$\delta U_{tp} = \frac{S_{nay}}{S_{qt}} = \frac{0,65}{25} * 100\% = 2,6\%.$$

Kuchlanishning tebranish chastotasi teng:  $F = \frac{m}{T_p} = \frac{120}{3} = 40 \text{ daqqa}^{-1}$ .

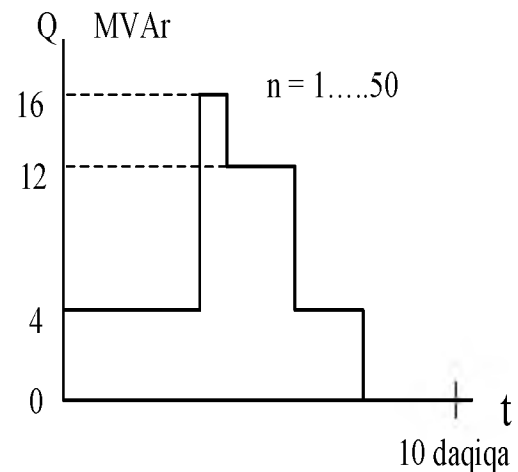
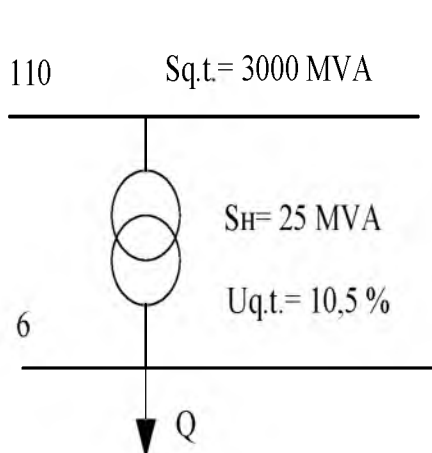
Chastotaga bog‘liq kuchlanishning qayta o‘zgarishini ruxsatlangan kuchlanishning tebranish egri chiziqlaridan ruxsatlangan kuchlanish tebranish kengligini aniqlaymiz.  $\delta U_{t.rux} = 0,9\%$ .

$\delta U_{t.rux} < \delta U_{tp} - 0,9 < 2,6$  - ruxsat etilmagan tebranish.

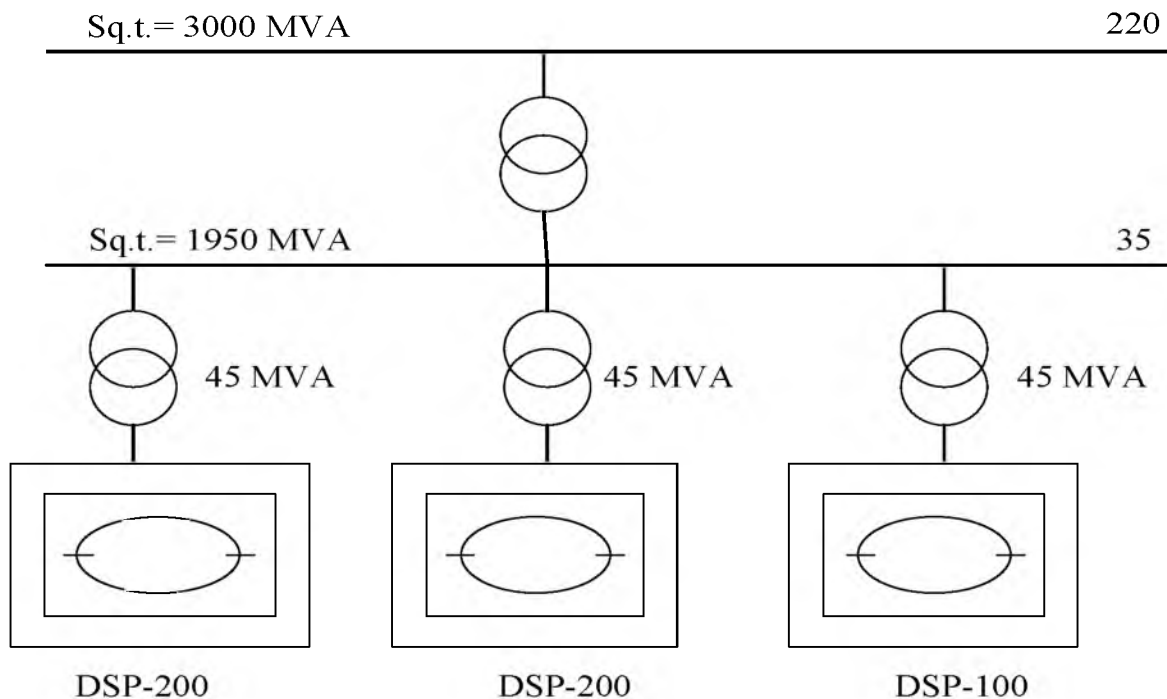
## Mustaqil yechish uchun misollar

Kuchlanish tebranishini aniqlash uchun misollar.

2.1-misol. Tez o‘zgaruvchan yuklama ulangan (2.4-rasm) podstansiyaning 6 kV li shinasida (2.3-rasm) kuchlanish tebranishining ruxsat etilishini baholang. 10 daqqa ichida kuchlanishning tebranishlar soni  $n=50$ .



2.3-rasm. Ulanish sxemasi 2.4-rasm. Yuklamalarning o‘zgarish grafigi



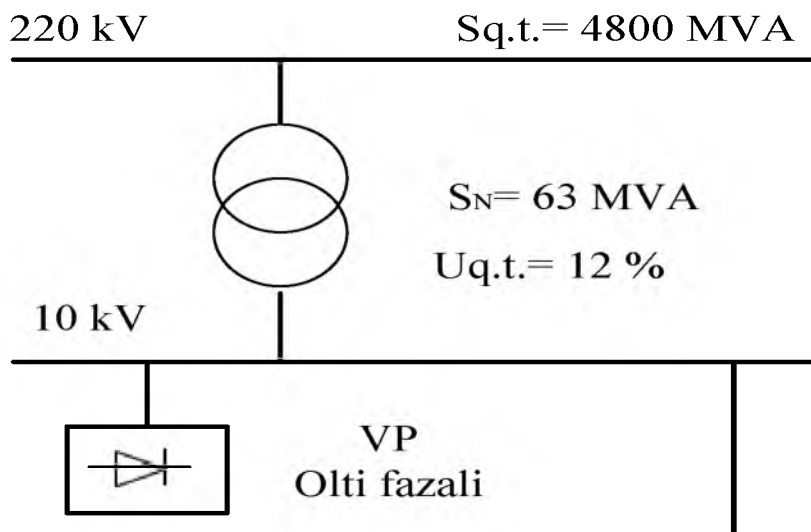
2.5-rasm. DSP larning ulanish sxemasi

2.2-misol. 35 va 220 kV shinalarda kuchlanish tebranishi mumkinligini aniqlang (2.5-rasm).

- A. Hamma pechlar.
- B. Bitta DSP-200.
- C. Bitta DSP-100.

Erish oralig'i 10 daqiqa. Kuchlanish tebranishi soniya ichida 0,4 marta.

2.3-misol. Agar  $\delta U_{rux}=2\%$ , reaktiv quvvatning o'zgarish oralig'i  $\Delta Q_{max}=10 \text{ MVA}$ , bo'lsa, ventilli o'zgartirgich ishlaganida 10 kV li shinada kuchlanish tebranishi mumkinligini aniqlang (2.6-rasm).



2.6-rasm. Hisoblash sxemasi

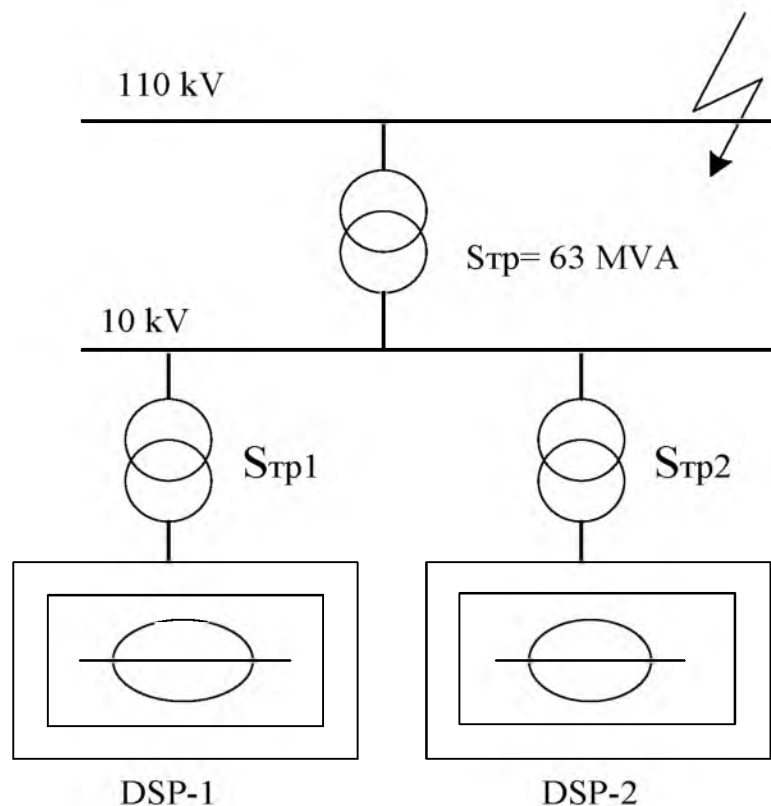
2.4-misol. 25 daqiqa ichida tarmoqda kuchlanishning 3% amplitudali 25 tebranishi, 2% amplitudali 30 tebranishi va 2,5% amplitudali 120 tebranishi kuzatildi. Ushbu tarmoqdan kommunal-maishiy iste'molchilarni bir fazalikda ta'minlanish mumkinligini baholang.

2.5-misol. 2.7-rasmda ko'rsatilgan podstansiyaning YUK va PK shinalaridagi kuchlanish tebranishini baholang.

1. Bitta DSP-1 pechi ishlaganda.
2. Ikkala DSP-1 va DSP-2 pechlari ishlaganda.

Metalning erish vaqtiga (TR) - 10 daq. Pech transformatorlarining quvvati  $S_{TP1}=25 \text{ MVA}$  va  $S_{TP2}=12 \text{ MVA}$ . Soniya ichida kuchlanishning

tebranish chastotasi  $N=0,8$  marta, ta'minlovchi tarmoq uchun QT quvvati  $S_{QT}=1500$  MVA.



2.7-rasm. DSP-1, DSP-2 ulanish sxemasi

#### Nazorat savollari

1. Kuchlanish tebranishi deb nimaga aytildi?
2. Kuchlanish tebranishini yuzaga keltiruvchi iste'molchilar?
3. Yo'qli po'lat erituvchi pechlar uchun kuchlanishning tebranishi?

### 3 - AMALIY MASHG'ULOT KUCHLANISH NOSINUSOIDALLIGINI HISOBLASH

Kuchlanish egri chizig'i shakli sinusoidasining buzilish koeffitsiyentini hisoblash va uni ruxsatlangan qiymatini baholash.

Tarmoqqa nochiziqli elektr energiya iste'molchilarini ulanishidan yuqori garmonika toklari yuzaga keladi. Yuqori garmonika toklarining tarmoq elementlaridan oqishidan ushbu element qarshiliklarida kuchlanish pasayishini yuzaga keltiradi, u esa asosiy kuchlanish sinusoidasi ustiga tushib, kuchlanish egri chizig'i shaklining buzilishiga olib keladi. Tarmoq kuchlanishining nosinusoidal kuchlanish egri chizig'i sinusoida shaklini buzilish koeffitsiyenti bilan tavsiflandi.

Tarmoq kuchlanishining nosinusoidalligini yuzaga keltiruvchi eng ko'p tarqalgan elektr iste'molchilar:

- ventilli o'zgartgichlar;
- yoyli elektr pechlari;
- razryad lampalari;
- yoyli elektr payvandlash qurilmalari.

Kuchlanish sinusoida shaklining buzilish koeffitsiyenti quyidagi ifodadan aniqlanadi:

$$K_V = \frac{\sum_{v=2}^{\infty} U_v^2}{U_I} * 100\% \approx \frac{\sum_{v=2}^{\infty} U_v^2}{U_{NOM}} * 100\% \quad (3.1)$$

bu yerda,  $U_I = \frac{U_N}{\sqrt{3}}$  tarmoqning nominal faza kuchlanishi ( $f=50 \text{ Hz}$  da birinchi garmonika kuchlanishi);  $U_v$  -  $v_{n.chi}$  garmonika kuchlanishi;  $v$  - garmonika raqami.

Garmonikaning miqdori va soni nochiziqli yuklamaning ko'rinishiga bog'liq. 6 fazali ventilli to'g'rilaqich sxema o'zgartgichlari uchun 5,7,11,13; 12 fazali sxema to'g'rilaqichlari uchun 11,13,23,25 garmonika hisobga olinadi. Undan ham yuqori tartibi (sonlari) quyidagi ifodadan aniqlanadi:

$$v = kp \pm l \quad (3.2)$$

Bunda,  $p$  – o'zgartgich fazalari soni;  $k$  – sonlar ketma-ketligi.

Yoyli po'lat eritish pechlari uchun 2, 3, 4, 5, 6, 7 va razryadli lampalar uchun 3, 5 garmonikalar hisobga olinadi. Sinusoidaning buzilish koeffitsiyentini baholashda kuchlanish o'zgarishi 0,1% dan

oshmasa, garmonikalar hisobga olinmaydi. Kuchlanish egri chizig‘i sinusoida buzilishining ruxsatlangan qiymatlari 3.1-jadvalda keltirilgan.

3.1-jadval

$U_N$ tarmoq kuchlanishi kV da me'yoriy ruxsatlangan qiymat				$U_N$ tarmoq kuchlanishi kV da chegaraviy ruxsatlangan qiymat			
0,38	6-20	35	110-330	0,38	6-20	35	110-330
8,0	5,0	4,0	2,0	12,0	8,0	6,0	3,0

Kuchlanish egri chizig‘ining sinusoida buzilish koeffitsiyentini hisoblashda nochiziqli yuklamani  $v$ -garmonikali tokni generatsiya qiladigan element deb hisobga olinadi va har bir garmonikaning tartib raqamiga asosan o‘zgaradigan parametrli almashtiruv sxemasi olib boriladi. Bunda  $v$ -garmonika uchun almashtiruv sxemasi elementlarining qarshiligi quyidagi ifodalardan aniqlanadi:

$$\text{Transformatorning qarshiligi: } X_{T(v)} = v \frac{U_k \%}{100} * \frac{U_N^2}{S_{NT}} \quad (3.3)$$

$$\text{Motoring qarshiligi: } X_{mot(v)} = v * X_{mot} \quad (3.4)$$

$$\text{Tizimning qarshiligi: } X_{tiz(v)} = v \frac{U_N^2}{S_{kt}} \quad (3.5)$$

$$\text{Reaktorning qarshiligi: } X_{p(v)} = v * X_p \quad (3.6)$$

$$\text{Kondensator batareyalari qarshiligi: } X_{kb(v)} = - \frac{U_N^2}{v Q_{PKB}} \quad (3.7)$$

$$\text{Yuklama qarshiligi: } Z_{yu(v)} = (0,18 + j0,24v) * \frac{U_N^2}{S_{yu}} \quad (3.8)$$

$$\text{EUL qarshiligi } Z_{L(v)} = (r_0 + jv x_0) * l \quad (3.9)$$

$$v\text{-garmonika kuchlanishi: } U_v = I_{(v)} * X_{(v)} \quad (3.10)$$

Bu yerda,  $I_{(v)}$  -  $v_{n.chi}$  garmonikaning tokli yuklamasi.

$X_{(v)}-v_{n.chi}$  garmonikaning almashtiruv sxemasining qarshiligi yoyli po'lat erituvchi pechlarni (YPEP)  $v_{n.chi}$  garmonikaning tokli yuklamasi quyidagi ifodadan aniqlanadi.

Bir dona pech uchun:

$$I_{(v)} = \frac{I_{pt}}{v} \quad (3.11)$$

bu yerda,  $I_{pt}$  - pech transformatorning nominal toki;

$v$  - garmonikaning raqam soni.

Bir xil quvvatli pechlar guruhi uchun:

$$I_{(v)guruh} = I_{(v)} * \sqrt[4]{N} \quad (3.12)$$

N-bir xil quvvatli pechlar soni;

Har xil quvvatli pechlar uchun

$$I_{(v)gur} = I_{(v)\max} * \sqrt[4]{\frac{\sum_{i=1}^n S_{p.t.y}}{S_{pt.\max}}} \quad (3.13)$$

O'zgaruvchan tokli yoyli va kontaktli payvandlash qurilmalari uchun  $v$  - garmonikali tok yuklamasi quyidagi ifodalardan aniqlanadi:

Bir dona payvandlash qurilmasi uchun:

$$I_{(v)} = \frac{S_t * K_{yu} * \sqrt{Q * U}}{v^2 * U_{NOM}} \quad (3.14)$$

bu yerda,  $S_t$  - payvandlash transformatorining quvvati;

$K_{yu}$  - transformatorning yuklanish koeffitsiyenti;  $v$  - garmonika raqami.

Payvandlash qurilmalari guruhi uchun:

$$I_{(v)gur} = \sqrt{\sum_{i=1}^N I_{(v)i}^2} \quad (3.15)$$

bu yerda,  $N$ - payvandlash qurilmalarining soni;  $I_{(v)i}$  -  $i_{n.chi}$  qurilma uchun  $v_{n.chi}$  garmonikaning nominal toki.

O'zgarmas tokli yoyli payvandlash uchun 5, 7, 11-garmonikalar hisobga olinadi.

$$I_{(v)} = \frac{I_{pay}}{v^2} \quad (3.16)$$

bu yerda,  $I_{pay}$  - payvandlash qurilmasining birlamchi toki.

Payvandlash qurilmalari guruhi uchun

$$I_{(v)guruh} = \sqrt{\sum_{i=1}^N I_{(v)i}^2} \quad (3.17)$$

bu yerda,  $N$ - payvandlash qurilmalarining soni.

Kondensator batareyalarini yuqori garmonikali tarmoqda ishlash mumkinligini tekshirishda, KB dan o‘tayotgan hamma garmonikalarning ekvivalent toki KB ning ruxsatlangan tokidan oshmasligi kerak.

$$I_{(EIV)KB} \leq I_{ruxKB} \quad (3.18)$$

bu yerda,  $I_{(EIV)KB} = \sqrt{\sum_{i=1}^v I_{(v)KB}^2}$

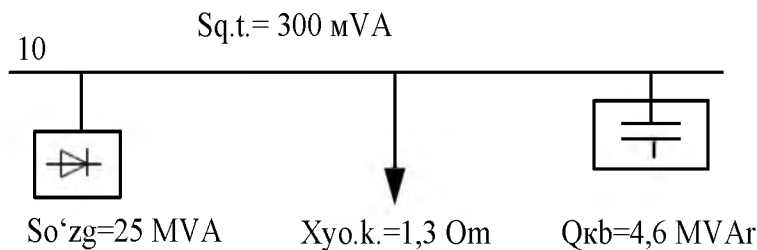
$I_{rux} = 1,3 * I_{Nom.KB}$  - kondensator batareyasining nominal toki.

Induktivli va sig‘imga ega bo‘lgan tarmoqda tokli rezonansi bo‘lishi mumkin.

$$vX_{\varepsilon(L)} = \frac{X_{\varepsilon(c)}}{v} \quad (3.19)$$

bundan, tok rezonansi mumkin bo‘lgan  $v$  garmonika raqami aniqlanadi.

3.1-misol. 3.1-rasmda ko‘rsatilgan olti fazali ventilli o‘zgartirgich va yuklamaning birga ishlashi mumkinligini baholang.

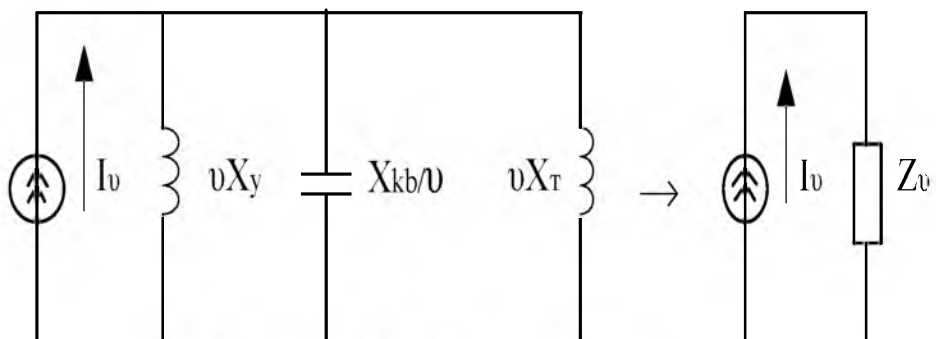


3.1-rasm. Ventilli o‘zgartirgich va yuklamaning birgalikda ishlashi

Ushbu sxema uchun kuchlanish egri chizig‘i shakli sinusoidasining buzilish koeffitsiyentining me’yoriy ruxsatlangan qiymati  $K_U=5\%$ .

Ventilli o‘zgartirgich 5, 7, 11, 13, 17, 19, 23 garmonikalarni generatsiya qiladi. Faqat 5, 7 va 11 ni hisobga olamiz.

Tarmoqning almashtiruv sxemasi 3.2-rasmda ko‘rsatilgan.



3.2-rasm. Almashtiruv sxemasi

Almashtiruv sxemasi parametrlari:  $X_{yu}=1,30 \text{ Om}$ ;

$$X_{KB} = \frac{U_N^2}{Q_{KB}} = \frac{6^2}{4,6} = 7,826 \text{ Om}; \quad X_{TIZ} = \frac{U_N^2}{S_{qt}} = \frac{6^2}{300} = 0,12 \text{ Om}.$$

$v$ -garmonika ( $v \leq 13$ ) uchun faza tokining qiymatini formuladan aniqlaymiz:

$$I_v = \frac{S_{o'zg}}{\sqrt{3}U_N * v} \quad (3.20)$$

$$I_5 = \frac{25}{\sqrt{3} * 6 * 5} = 0,481 \text{ kA}; \quad I_7 = 0,343 \text{ kA}; \quad I_{11} = 0,218 \text{ kA}.$$

5-garmonika uchun tarmoqning to‘liq qarshiligini aniqlaymiz:

$$Z_5 = \frac{5X_{yu} * (-\frac{X_{KB}}{5} * 5X_{TIZ}) / (-\frac{X_{KB}}{5} + 5X_{TIZ})}{5X_{yu} + (-\frac{X_{KB}}{5}) / (-\frac{X_{KB}}{5} * 5X_{TIZ})}$$

$$Z_5 = \frac{5 * 1,3 * (-\frac{7,826}{5} * 5 * 0,12) / (-\frac{7,826}{5} + 5 * 0,12)}{5 * 1,3 + (-\frac{7,826}{5}) / (-\frac{7,826}{5} * 5 * 0,12)} = 0,848 \text{ Om}.$$

Xuddi shunga o‘xshab tarmoqning 7- va 11- garmonikalari uchun to‘liq qarshiliklarini aniqlaymiz:

$$Z_7 = 2,482 \text{ Om}; \quad Z_{11} = 1,716 \text{ Om}.$$

Kuchlanishning  $v_{n.chi}$  tarkibiy qismining qiymati:

$$U_5 = I_5 * Z_5 = 0,481 * 0,848 = 0,408 \text{ kV}; \quad U_7 = 0,851 \text{ kV}; \quad U_{11} = 0,374 \text{ kV}.$$

Kuchlanish egri chizig‘i shaklining sinusoidadan og‘ish koeffitsiyentining qiymati:

$$K_U = \frac{\sqrt{U_5^2 + U_7^2 + U_{11}^2}}{\frac{U_{NOM}}{\sqrt{3}}} * 100\% = \frac{\sqrt{0,408^2 + 0,851^2 + 0,374^2}}{6/\sqrt{3}} * 100\% = 29,3\%$$

$K_U \leq K_{U.rux}$  yuklama bilan ventilli o‘zgartigichlarning birgalikda ishlashi mumkin emas.

3.2-misol. Elektrolizli ishlab chiqarishni ta’minlaydigan podstansiya uchun filtrli kompensatsiya qurilmalarini tanlang. Dastlabki ma’lumotlar: Q.T. quvvati 185 MVA, 12-ventilli o‘zgartgich quvvati 15

MVA;  $U_{nom}=10,5\text{kV}$ , reaktiv quvvatning me'yoriy qiymati  $Q_{me'yor}=3,1$  MVar;  $K_{U(II)}=5,8\%$ ;  $K_{v(13)}=4,3\%$ ;  $K_U=7,3\%$  kondensatorning nominal kuchlanishi  $U_{N.KB}=6,6\text{kV}$ .

Yechish. O'zgartirgichlarning yuqori garmonika toklari:

$$I_{II} = \frac{S_{o'zg}}{\sqrt{3}U_N * v} = \frac{15000}{\sqrt{3} * 10,5 * 11} = 75A; \quad I_{13} = 63A.$$

Qurilmaga 11-garmonika chastotasiga to'g'rilangan bir dona FKQ ni qabul qilamiz. KB quvvatining reaktiv qurilma me'yoriy qiymatiga teng holda qabul qilamiz:

$$Q_r = 3,1\text{MVar}; \quad K_r = \frac{3,1}{217} = 1,42 * 10^{-2}$$

FKQ orqali oqayotgan 13-garmonika ulushini aniqlaymiz:

$$G_{13} = \frac{1}{\frac{1}{K_p * 10^{-2} * \nu_{11}^2} * [1 - (\frac{\nu_{11}}{\nu_{13}})^2] + 1} = \frac{1}{\frac{1}{1,42 * 10^{-2} * 11^2} * [1 - (\frac{11}{13})^2] + 1} = 0,88$$

KB tarmog'idagi yuqori garmonika toki:

$$I_{v\Sigma} = \sqrt{I_{vII}^2 + (I_{v13} * G_{13})} = \sqrt{75^2 + (63 * 0,88)} = 93A$$

FKQning KB uch fazali minimal quvvati  $Q_f=3*1,2I_{v\Sigma}*U_{N.KB}=3*42*93*6,6=2210\text{kVar}<3100\text{kVar}$  bu esa KB ning ruxsatlangan o'rnatilgan quvvatini tasdiqlaydi.

FKQ ni 11-va 13-garmonikalariga o'rnatilgan filtrning KB quvvati:  
 $3*(1,2*U_{N.KB}*I_{v11}+1,2*U_{N.KB}*I_{v12})=3*(1,2*6,6*75+1,2*6,6*63)=3279$   
 kVar > 3100 kVar, ya'ni reaktiv quvvatning me'yoriy qiymatidan ancha katta.

12-garmonikali FKQning  $K_r=1,42*10^{-2}$ , 11- va 13- garmonika toklari bilan yuklangan bo'ladi.

$$G_{13} = \frac{1}{\frac{1}{1,42 * 10^{-2} * 12^2} * \left[1 - \left(\frac{12}{11}\right)^2\right] + 1} = 1,13,$$

$$G_{13} = \frac{1}{\frac{1}{1,42 * 10^{-2} * 11^2} * \left[1 - \left(\frac{12}{13}\right)^2\right] + 1} = 0,96 .$$

FKQ orqali o'tadigan yuqori garmonika toklari:

$$I_{v\Sigma} = \sqrt{(75 * 1.13) + (63 * 0.96)} = 104 \text{ A}$$

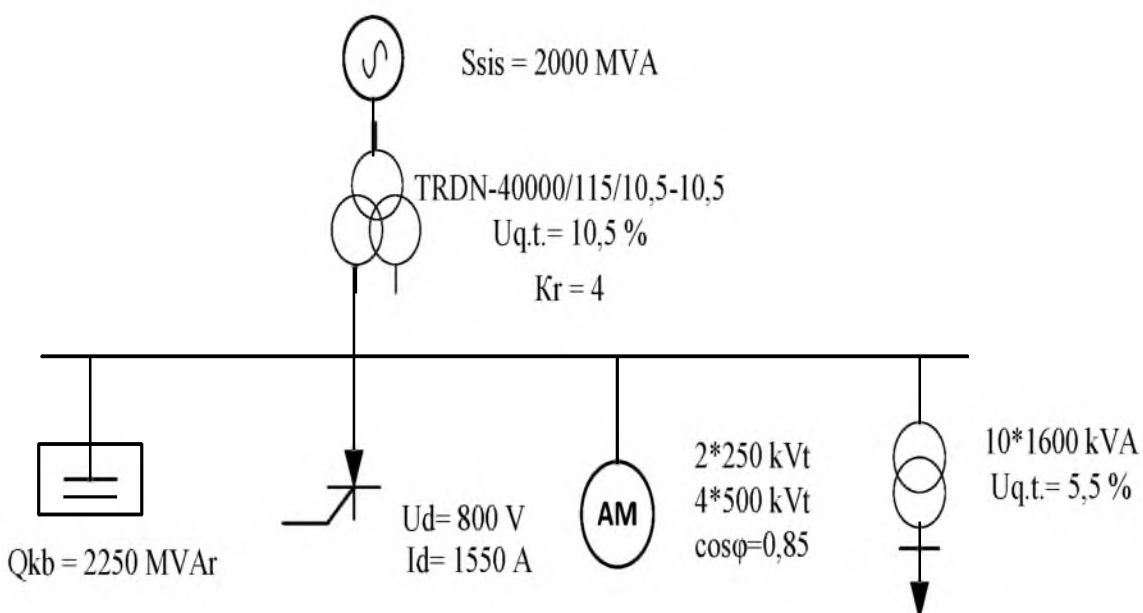
FKQ ni KB sining minimal quvvati:

$$Q_r = 3 * 1.2 * 104 * 6.6 = 2474 \text{ kVAr} < 3100 \text{ kVAr}$$

Shunday qilib, 12-garmonika chastotasiga to‘g‘rilangan FKQ ni o‘rnatish mumkin. 11-garmonikali FKQ o‘rnatish varianti afzal, chunki KB ning tok bo‘yicha yuklanishi  $(104/93-1)*100*12\%$  ga kam, harorat tartibi va ishlatish vaqtib bo‘yicha yaxshi natijalar beradi.

### Mustaqil yechish uchun misollar

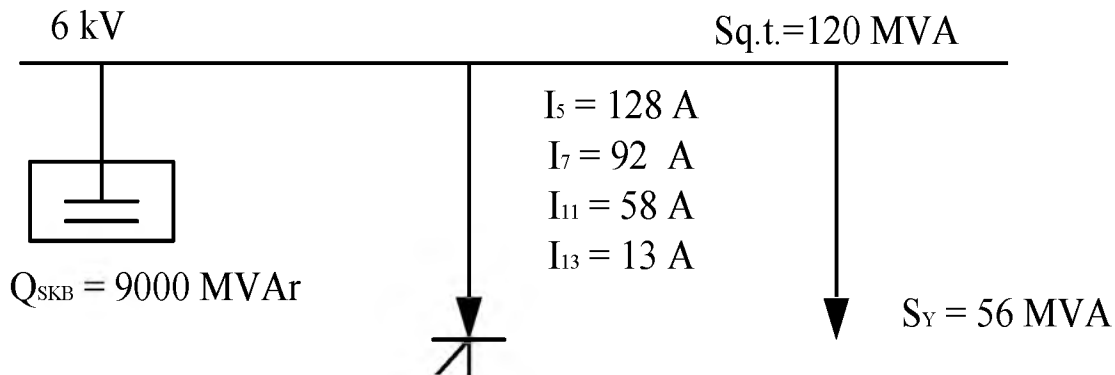
Yuqori garmonikani aniqlash uchun misollar



3.3-rasm. Garmonika raqamini aniqlash uchun sxema

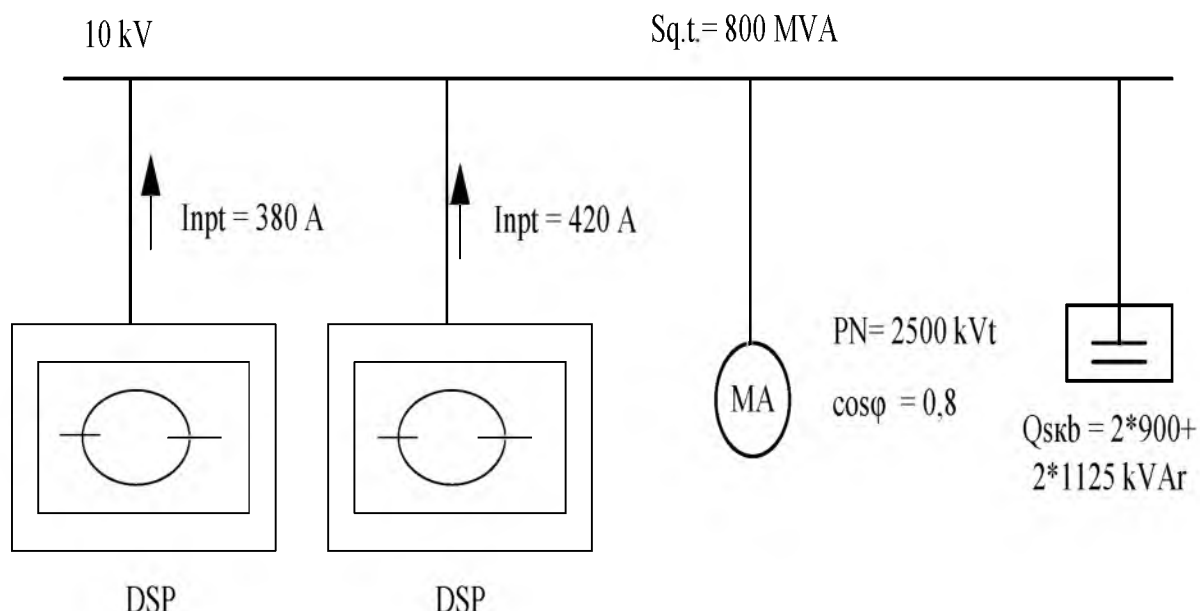
3.1-misol. 3.3-rasmida keltirilgan sxema uchun tok rezonansi bo‘ladigan garmonika raqamini, kuchlanish egri chizig‘i sinusoida shaklining buzilish koeffitsiyentini aniqlang.

3.2-misol. 3.4-rasmida keltirilgan sxema uchun yuqori garmonika darajasini hisoblash uchun almashtiruv sxemasini tuzing, TP shinasidagi  $K_U$  ni aniqlang va SKB ning ulangan va uzilgan holatida TP shinasidan  $S_{YUK}$  yuklamasining ishlashi mumkinligiga xulosa keltiring.



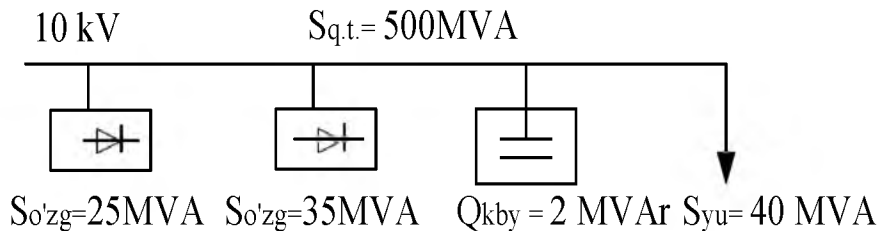
3.4-rasm. Yuqori garmonika darajalarini hisoblash uchun sxema

3.3-misol. 3.5-rasmda keltirilgan sxema uchun kuchlanish egri chizig‘i sinusoidasi shakli buzilishini baholang va rezonansi bo‘lishi mumkin bo‘lgan garmonika raqamini aniqlang. TP-10 kV shinasiga ulangan SKB tok bo‘yicha o‘ta yuklanishiga tekshiring.



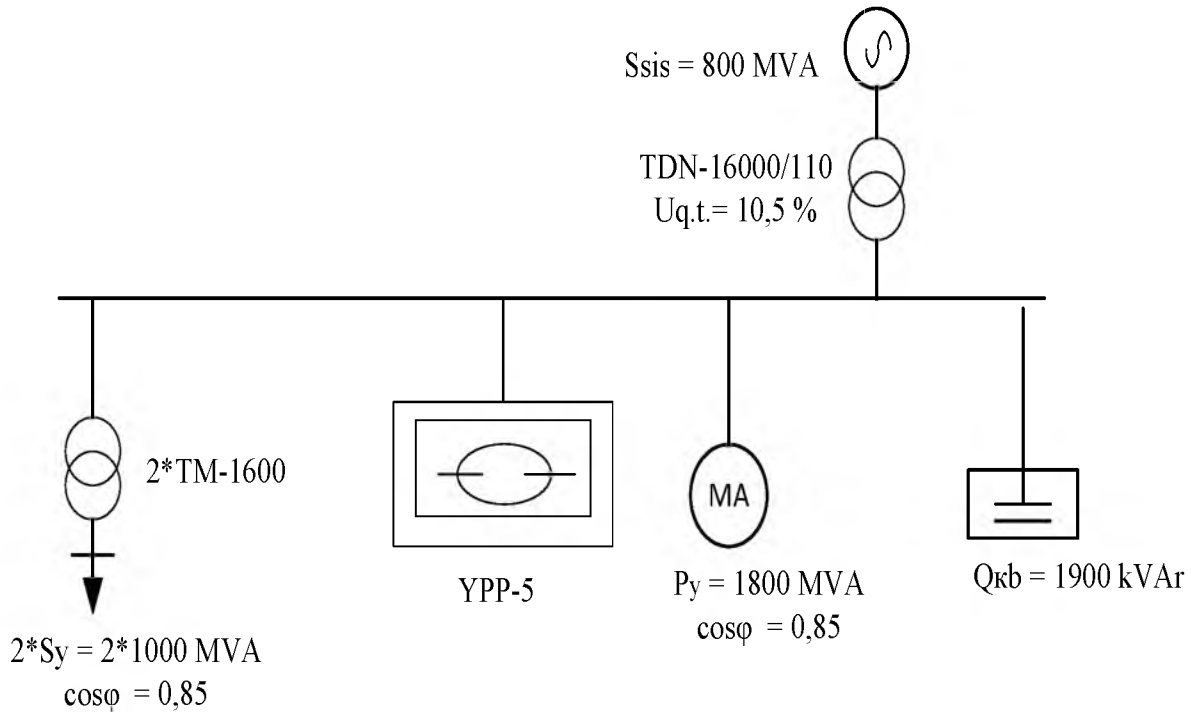
3.5-rasm. Garmonika raqamini hisoblash uchun sxema

3.4-misol. 3.6-rasmda ko‘rsatilgan ikkita olti fazali ventilli o‘zgartgichlarning TP-10 kV shinadagi yuklamaga ta’sirini baholang. O‘zgartgichlar generatsiya qiladigan tok tarkibiga 5, 7, 11, 13-garmonikalar kiradi.



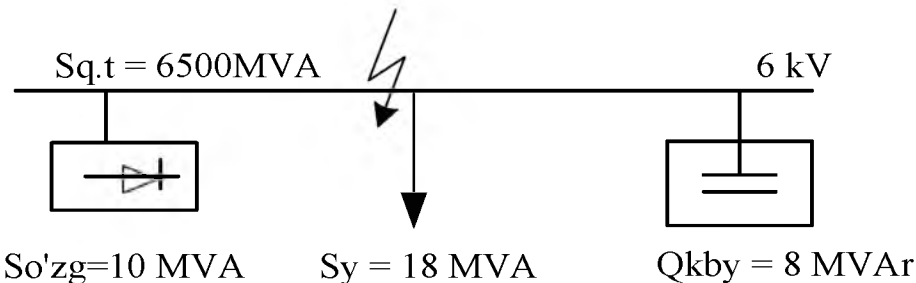
3.6-rasm. Hisoblash uchun sxema

3.5-misol. 3.7-rasmda ko‘rsatilgan sxema uchun 10 kVli TP shinasidagi kuchlanish egri chizig‘i shaklining buzilish koeffitsiyentini aniqlang va YOPP (yoqli po‘lat eritish pechi) generatsiya qiladigan tok garmonikalari  $I_3=10\text{A}$ ,  $I_5=50\text{A}$ ,  $I_7=30\text{A}$  ni tashkil etsa, TP ga  $Q_{KB}=1900 \text{ kVar}$  quvvatli kondensator batareyalari ularash mumkinligiga xulosa qiling.



3.7-rasm. Hisoblash uchun sxema

3.6-misol. 3.8-rasmda ko‘rsatilgan sxema uchun ventilli o‘zgartirgich (olti fazali to‘g‘rilagich) va yuklamani birgalikda ishlashi mumkinligini baholang. Tok rezonansi mumkin bo‘lgan garmonikani aniqlang. Kuchlanish egri chizig‘i sinusoidaning buzilish koeffitsiyentini hisoblashda 5- va 7- garmonikalarni hisobga oling.



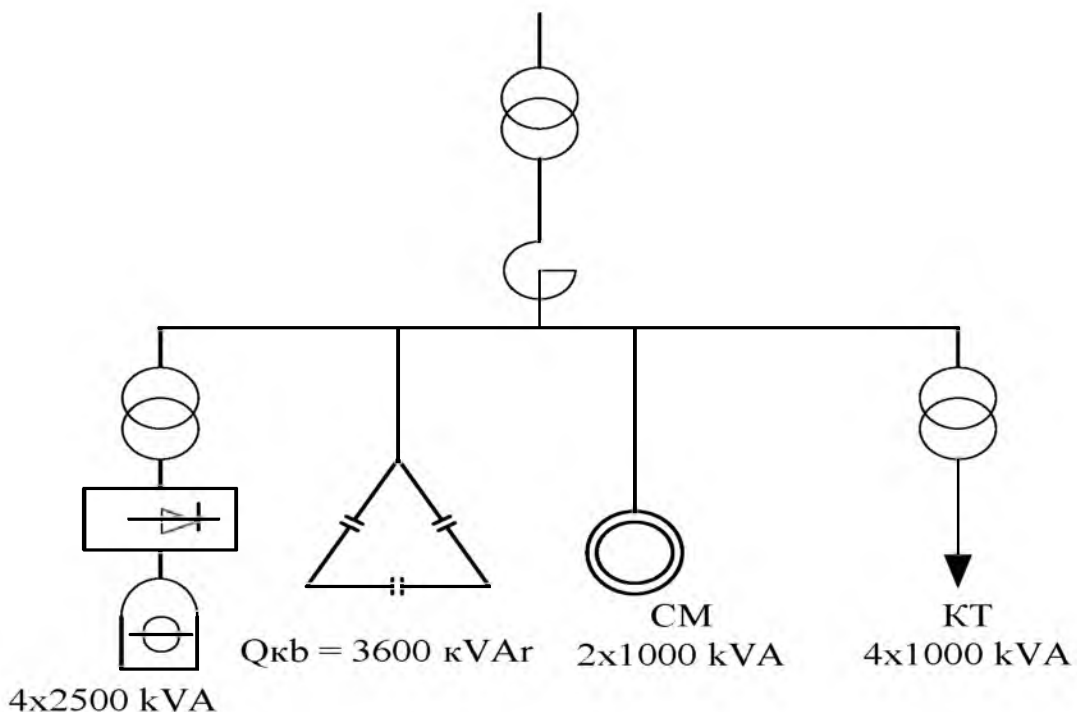
3.8-rasm. Hisoblash uchun sxema

### Elektr energiyaning sifat ko‘rsatkichlarini hisoblash uchun misollar

3.7-misol. Elektr po‘lat eritish sexini ta’minlaydigan podstansiya shinasi seksiyaning teskari ketma-ketlik qarshiligini aniqlang. Podstansiya sxemasi 3.9-rasmda keltirilgan.

Yoyli vakuumli pechning dastlabki ma’lumotlari:  $U_1=0,4$ ;  $\cos\varphi_1=0,8$ ; SM  $U_2=5$ ;  $\cos\varphi_2=0,9$  (oldinga o‘tgan); KB.  $U_3=1$ ;  $\cos\varphi_3=0$ ; boshqa yuklamalar  $U_4=5$ ;  $\cos\varphi_4=0,9$  ( $U$ -elementlarning o‘tkazuvchanligi).

Yechish: Teskari ketma-ketlik qarshiligi  $Z_2^*$  (nominal quvvatga keltirilgan nisbiy birlikda).



3.9-rasm. Podstansiyaning sxemasi

$$Z_2^* = \frac{\sqrt{(4*2,5*0,8+2*1*0,9+4*1*0,9)^2 + (4*2,5*0,6-3,6-2*1*0,44+4*1*0,44)^2}}{\sqrt{(4*2,5*0,8+2*1*0,6*5+4*1*0,9*5)^2 + (4*2,5*0,6*0,4-3,6*1-2*1*0,44*5+4*1*0,44*5)^2}} = 0,45 Om$$

Teskari ketma-ketlik qarshiligining argumenti:

$$\text{arc}Z_2^* = \frac{4*2,5*0,6*0,4-3,6*1-2*1*0,44*5+4*1*0,44*5}{4*2,5*0,8*0,4+2*1*0,9*5+4*1*0,9*5} = 6^\circ$$

Ushbu yuklama tuguni uchun to‘liq qarshilikning teskari ketma-ketligi:

$$Z_2^* \approx 0,45 * e^{j6^\circ} \approx j0,40 = jx_2$$

3.8-misol. Oldingi misolda ko‘rsatilgan podstansiya ET dan ta’minlanadi. 6 kV li shinadagi QT quvvati  $S_{QT}=180$  MVA. Podstansiyaga bir fazali pechning ulanishidan hosil bo‘lgan teskari ketma-ketlik toki  $I_2=0,2$  A,  $X_q^*=1$ .  $E_2$  ni aniqlangan.

Yechish. Teskari ketma-ketlikning ekvivalent qarshiligi:

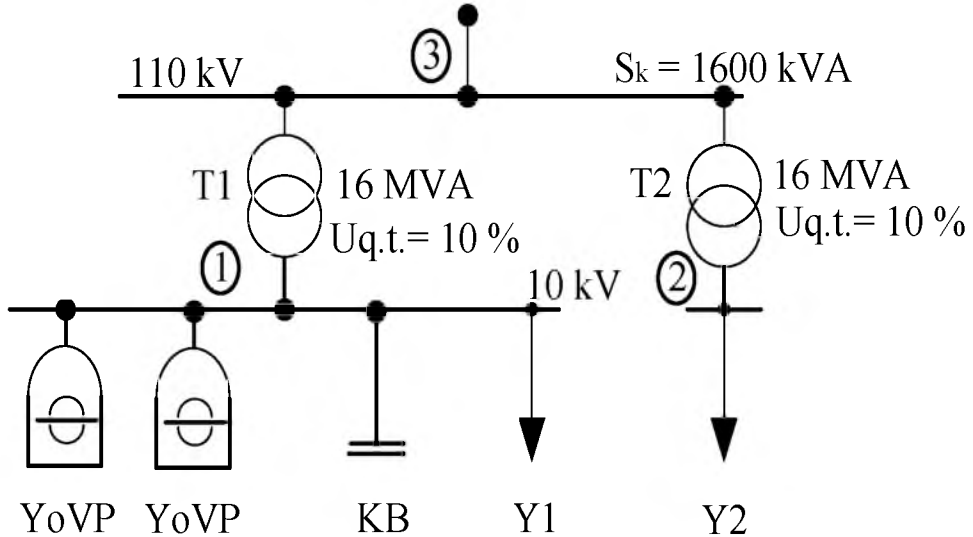
$$x_{2\Sigma}^* = \frac{x_2^* * x_k^*}{x_2^* + x_k^*} = \frac{1 * 0,45}{1,45} = 0,3$$

Nosimmetriya koeffitsiyenti:

$$E = 0,3 * 0,2 = 0,06 = 6\%$$

3.9-misol. 3.10-rasmni 10 kV va 110 kV shinasida  $E_2$  ni aniqlang. 10 kVli shinaning 1-tuguniga EVP ulangan bo‘lib, quvvati 6 MVA;  $U_I=0,42$ ;  $\cos\varphi_I=0,85$ ;  $Q_{KB}=8$  MVar;  $U_2=1$ ;  $\cos\varphi_2=0$ ; yuklama quvvati 5 MVA;  $U_3=5$ ;  $\cos\varphi_3=0,8$ ; 2-tugunga 12 MVA li yuklama ulangan,  $Z_2^*=0,5+j0,55$ . 110 kVli shinada Q.T. quvvati 16 MVA 1-tugunga quvvati 5 MVA li bir fazali shakli qayta eritish pechining ulanishidan teskari ketma-ketlik toki  $I_2^*=1,5$  A ni tashkil etadi.

Yechish. 1-tugundagi 10 kVli seksiya shinasining teskari ketma-ketlik qarshiligi.



3.10-rasm. Elektrotermik sexining elektr ta'minot sxemasi

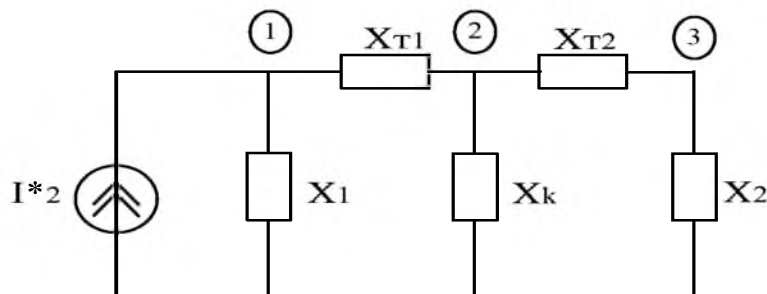
$$\begin{aligned}
 |\dot{Z}_2^*| &= \frac{\sqrt{(6 * 0,85 + 5 * 0,8)^2 + (6 * 0,53 - 8 * 1 + 5 * 0,6)^2}}{\sqrt{(6 * 0,85 * 0,42 + 5 * 0,8 * 5)^2 + (6 * 0,53 * 0,42 - 8 * 1 * 1 + 5 * 0,6 * 5)^2}} \\
 &= \frac{\sqrt{9,1^2 + 1,82^2}}{\sqrt{22,14^2 + 8,33^2}} = \frac{9,28}{23,66} = 0,39
 \end{aligned}$$

$Z_2^*$  qarshilikning argumenti:

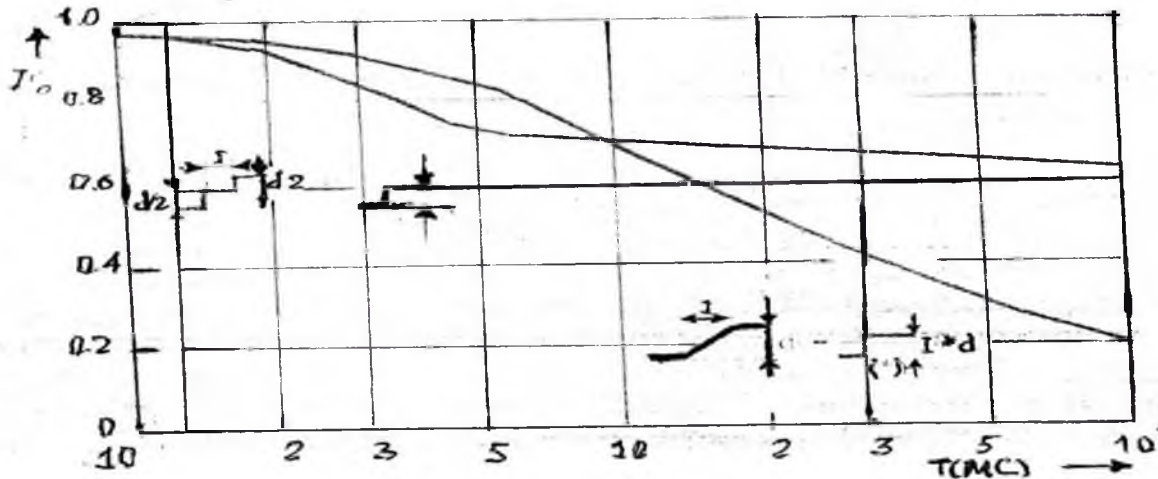
$$\varphi_2 = \operatorname{arctg}\left(\frac{8,33}{22,14}\right) = 20,6^\circ,$$

1-tugundagi 10 kVli seksiya shinasining teskari ketma-ketlik qarshiligi kompleksi  $Z_2^* = 0,144 + j0,37$ .

Ko'rsatilgan sxemada faqat reaktiv qarshiligini hisobga olib kuchlanish nosimmetriyasini hisoblaymiz. Teskari ketma-ketlik almash-tirish sxemasi 3.11-rasmda keltirilgan.



3.11-rasm. Tarmoq uchastkalarini almashtirish sxemasi



3.12-rasm.  $K_n$  pog'onasi va erishganlik uchun  $F$ , koeffitsiyent qiymati

$S_B=1500$  MVAli bazali quvvatda 1-tugunni 10 kVli shinaning nisbiy birlikda teskari ketma-ketlik qashiligi  $X_I=0,37$ .

Transformatorlarning qarshiligi:

$$X_{T1} = X_{T2} = \frac{U_k * S_B}{100 * S_{nom}} = \frac{9,28}{100 * 16} = 0,0058$$

Tizimning qarshiligi:

$$X_K = \frac{S_B}{S_K} = \frac{9,28}{1600} = 0,0058$$

2-tugundagi 10 kVli shinaning teskari ketma-ketlik qarshiligi:

$$X_2 = 0,55 * \frac{9,28}{12} = 0,43$$

Manbaning teskari ketma-ketlik qarshiligi:

$$I_2^* = 1,5 * \frac{5}{9,28} = 0,81$$

1-tugun. Teskari ketma-ketlikning ekvivalent qarshiligi:

$$X_{2\Sigma} = \frac{X_1 * (X_{T1} + \frac{(X_{T2} + X_2) * X_K}{X_{T2} + X_2 + X_K})}{X_1 + X_{T1} + \frac{(X_{T2} + X_2) * X_K}{X_{T2} + X_2 + X_K}} = 0,054$$

Nosimmetriya koeffitsiyenti:

$$E_2 = X_{2\Sigma} * I_2^* = 0,054 * 0,81 = 0,044 = 4,4\%$$

3-tugun. Teskari ketma-ketlik koeffitsiyenti:

$$X_{2\Sigma} = \frac{(X_{T2} + X_2) * X_K}{X_{T2} + X_2 + X_K} = 0,0057$$

Transformator T1 dagi teskari ketma-ketlik toki:

$$I_{2(T1)}^* = I_2^* * \frac{X_1}{X_1 + X_{T1} + \frac{(X_{T2} + X_2) * X_K}{X_{T2} + X_2 + X_K}} = 0,8 * \frac{0,37}{0,43} = 0,70$$

Teskari ketma-ketlik koeffitsiyenti:

$$E_2 = X_{2\Sigma} * I_{2(T1)}^* = 0,0057 * 0,70 = 0,004 = 0,4\%$$

2-tugun. Teskari ketma-ketlik qarshiligi:

$$X_{2\Sigma} = X_2 = 0,43$$

T2 trasformatoridagi teskari ketma-ketlik toki:

$$I_{2(T2)}^* = I_{2(T1)}^* * \frac{X_K}{X_K + X_{T2} + X_2} = 0,70 * \frac{0,0058}{0,49} = 0,0082$$

Teskari ketma-ketlik koeffitsiyenti:

$$E_2 = X_{2\Sigma} * I_{2(T2)}^* = 0,43 * 0,0082 = 0,0035 = 0,35\%$$

3.10—misol. “Slyabing” ko‘rinishidagi prokat stanining elektr tarmog‘idagi ruxsatlangan KT ni aniqlang. Reaktiv quvvat o‘zgarishi 3.11-rasmida keltirilgan. 10 kV tarmoqdagi QT quvvati 300 MVA.

Yechish. Yuklama grafigiga qarab KT kengligini aniqlaymiz:

$$U_{d1} = \delta U_1 = \frac{\delta Q_1}{S_K} * 100\% = \frac{39}{300} * 100\% = 13\%$$

*(t<sub>1</sub>=0 s kuchlanish o‘zgarishining davomiyligi).*

*(t<sub>1</sub>=0,6 s kuchlanish o‘zgarishining davomiyligi).*

$$d_2 = \delta U_2 = \frac{\delta Q_2}{S_K} * 100\% = \frac{12}{300} * 100\% = 4\%$$

Ko'rsatilgan holda QT to'g'ri burchakli ( $t_i=0$ ) va shuningdek, uch burchakliga ( $t_i \neq 0$ ) ega bo'lib, QT ning ekvivalent kengligini aniqlashda ularni to'g'ri burchakli holatga keltirish zarur.

$$F_1 * d_1 = 1 * 13 = 13\%$$

$$F_2 * d_2 = 0,27 * 4 = 1,08\%$$

Bu yerda,  $F_1 = 3,12$ -rasmda keltirilgan impulsning davomiyligi  $t_1$  ga bog'liq qiyalangan QT uchun ekvivalentlik koeffitsiyenti. Kuchlanishning har bir o'zgarishi uchun fliker jadalligi:

$$P_{st1} = \frac{F_1 * d_1}{d_0} = \frac{13}{2,75} = 4,73$$

$$P_{st2} = \frac{F_2 * d_2}{d_0} = \frac{1,08}{2,75} = 0,39$$

Bu yerda,  $d_0$ —bog'liq minut ichida r, takrorlanadigan QT ning ruxsat etilgan kengligi ko'rileyotgan  $r=1$ . 2.2-rasmga asosan,  $d_0=2,75$ .

3.12-rasmdagi yuklamalar grafigida ko'rsatilgan holdagi FJ keltirilgan.

Butun grafik uchun FJ

$$P_{st1} = \sqrt{\sum_{t=1}^{t=s} P_{sti}^s} = 10,28$$

Shuningdek,  $P_{st} > 1$  QT darajasi ruxsat etilgandan yuqori.

3.11-misol. Oldingi misol uchun 110 kVli shinadagi ruxsat etilgan KT aniqlangan. 110/10 kV transformator 40 MVA quvvatga ega. QT kuchlanishi  $U_{qt}=10,5\%$ .

Yechish.  $S_B=40$  MVA deb qabul qilamiz. Transformator qarshiligi:

$$X_T = \frac{U_K}{100} * \frac{S_B}{S_{NOM}} = \frac{10,5}{100} * \frac{40}{40} = 0,105$$

Tizim va transformator qarshiliklarining yig'indisi:

$$X_T + X_K = \frac{S_B}{S_K} = \frac{40}{300} = 0,133$$

Tizimning qarshiligi:  $X_K = 0,133 - 0,105 = 0,028$

110 kV shinada F.J. tarqalish koeffitsiyenti:

$$K_U^{(110)} = \frac{X_K}{X_T + X_K} = \frac{0,028}{0,133} = 0,21$$

110 kV shinada flikerning jadallashishi:

$$P_{st}^{(110)} = P_{st}^{(10)} * K_u^{(110)} = 10,28 * 0,21 = 2,2$$

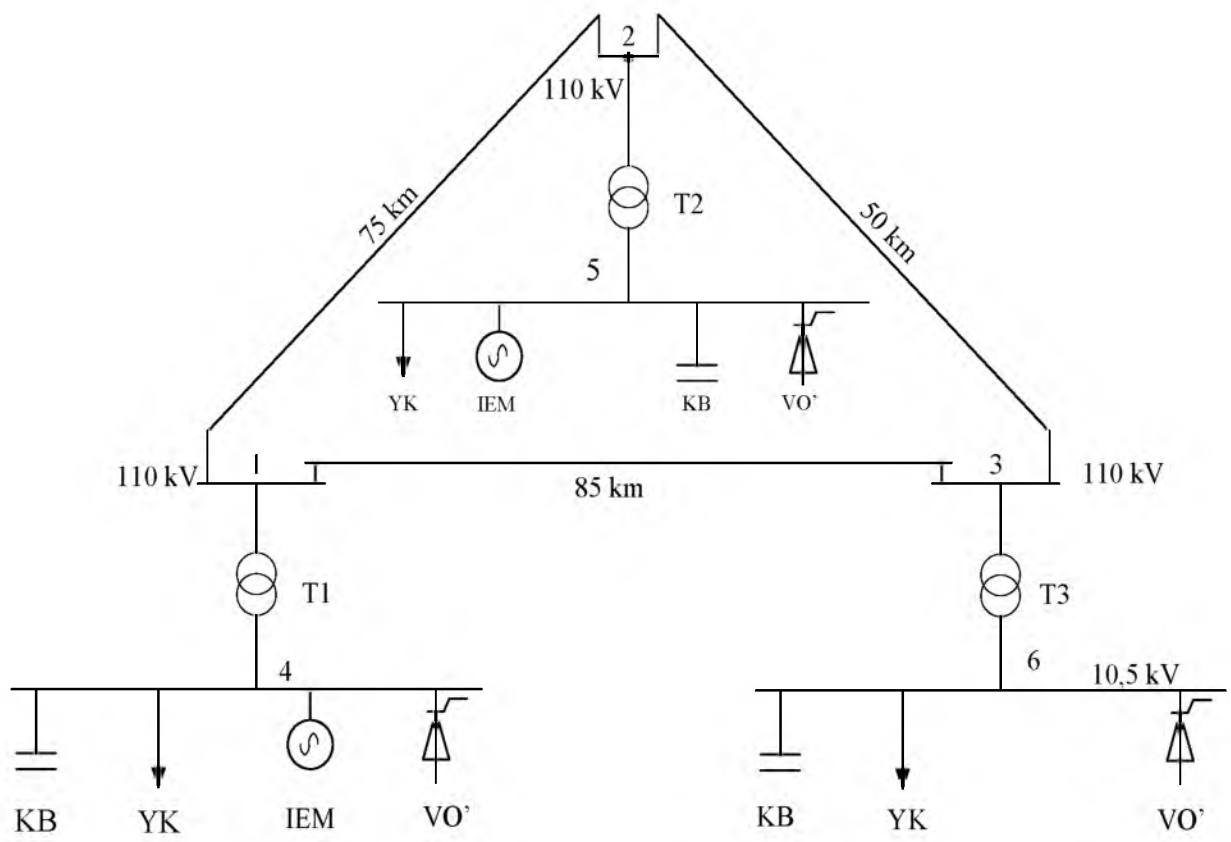
$P_{st}^{(110)} > 1$  bo'lganligi uchun QT darajasi ruxsat etilganidan yuqori.

3.12-misol. 3.13-rasmida keltirilgan sxema uchun tarmoq shoxobchalaridagi Yu.G toklarini hisoblang, 10 kV va 110 kV shinalarda  $K_{ns}$  ni aniqlang.

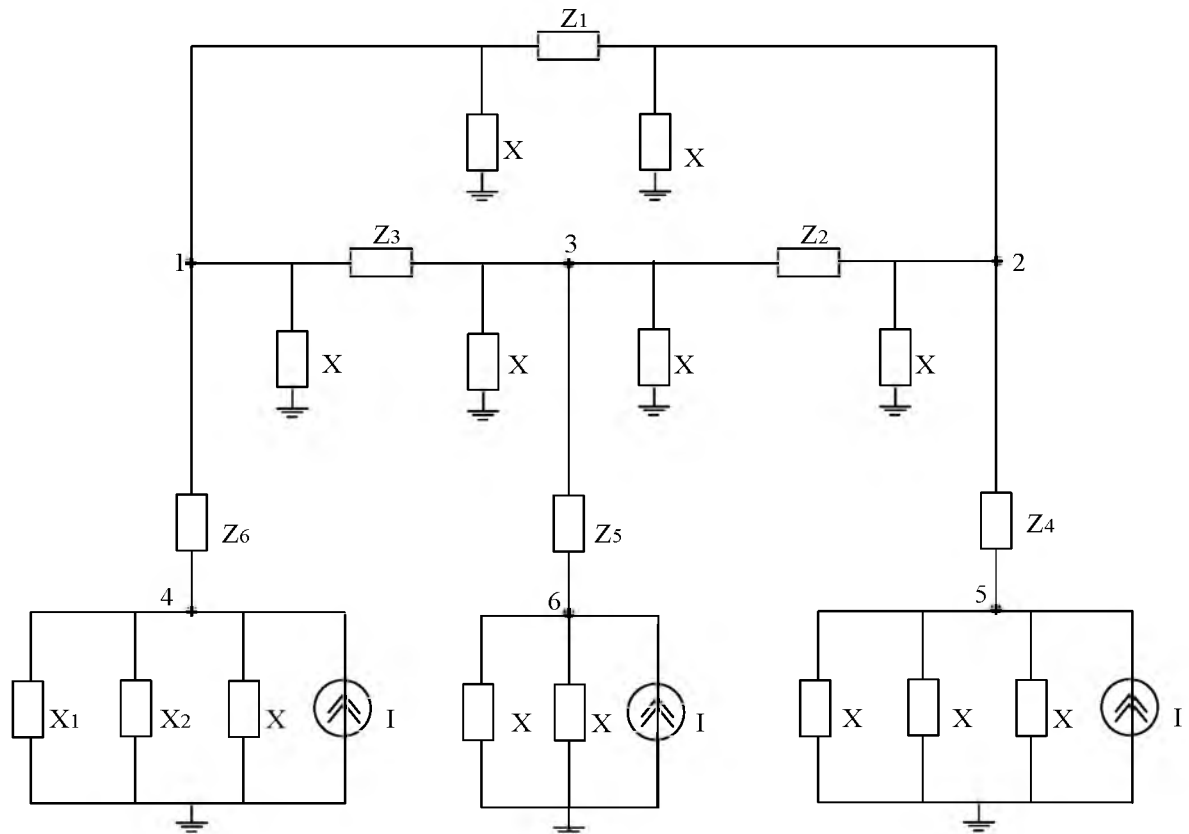
Dastlabki ma'lumotlar 1-tugun. Transformatorlar quvvati  $S_{TR}=63$  MVA; 115/10,5 kV;  $U_{q,t}=12\%$ ;  $\Delta P_{q,t}=250$  kVt; IEM ning quvvati 50 MVA;  $X_d=0,15$ ; yuklama quvvati 30 MVA; KB quvvati 30 MVAr. VO'-6 fazali quvvati 25 MVA; asosiy garmonika tokining fazasi  $\varphi=10^0$ .

2-tugun. Transformator 125 MVA; 115/10,5 kV;  $U_{q,t}=12\%$ ;  $\Delta P_{q,t}=400$  kVt; IEM ning quvvati 100 MVA;  $X_d=0,15$ ; yuklama quvvati 40 MVA; KB quvvati 50 MVAr; VO'-6 fazali quvvati 30 MVA; asosiy garmonika tokining fazasi  $\varphi=20^0$ .

3-tugun. Transformator 40 MVA; 115/10,5 kV;  $U_{q,t}=12\%$ ;  $\Delta P_{q,t}=170$  kVt; yuklama quvvati 10 MVA; KB quvvati 20 MVAr; VO'-12 fazali quvvati 15 MVA; asosiy garmonika tokining fazasi  $\varphi=30^0$ . Uzatuvchi liniyaning parametrlari  $x_0=0,4$  Om/km;  $v_0=3*10^{-6}$  Om/km;  $\gamma_0=0,12$  Om/km.



3.13-rasm. Sanoat elektr tizimi tugunlariga ulangan sanoat yuklamalarining ta'minot sxemasi



3.14-rasm.  $v$ -garmonika uchun almashtirish sxemasi

Yechish. 1.  $v$ -garmonika uchun almashtirish sxemasi 3.14-rasmida ko‘rsatilgan. 1–6 raqamlar bilan tegishli tugunlar ko‘rsatilgan.

2.  $S_B=100$  MVA da. Nisbiy birlikda asosiy garmonika uchun almashtirish sxemasidagi asosiy elementlarning qarshiligi:

$$X_1 = \frac{S_B}{S_{KB}} = \frac{100}{30} = 3,33$$

$$X_2 = X'' * \frac{S_B}{S_N} = 0,35 * \frac{100}{30} = 1,17$$

$$X_3 = X_d'' * \frac{S_B}{S_{nom}} = 0,15 * \frac{100}{50} = 0,3$$

$$X_4 = \frac{1}{2} * \frac{1}{b_o * L} * \frac{S_B}{U_{o'r}^2} = \frac{1}{2} * \frac{1}{3 * 10^{-6} * 85} * \frac{100}{115^2} = 15,0$$

$$X_5 = \frac{1}{2} * \frac{1}{b_o * L} * \frac{S_B}{U_{o'r}^2} = \frac{1}{2} * \frac{1}{3 * 10^{-6} * 75} * \frac{100}{115^2} = 16,8$$

$$X_6 = \frac{U_k}{100} * \frac{S_B}{S_{nom}} = \frac{12}{100} * \frac{100}{63} = 0,19$$

$$r = \frac{\Delta R_{k.z.}}{S_{nom}} * \frac{S_B}{S_{nom}} = \frac{0,25}{63} * \frac{100}{63} = 0,006$$

$$X_7 = X_0 * L * \frac{S_B}{U_{o'r}^2} = 0,4 * 85 * \frac{100}{115^2} = 0,28$$

$$r^* = r_0 * L * \frac{S_B}{U_{o'r}^2} = \frac{0,25}{63} * \frac{100}{63} = 0,006$$

$$X_8=X_4=15,0$$

$$X_9 = \frac{1}{2} * \frac{1}{b_o * L} * \frac{S_B}{U_{o'r}^2} = \frac{1}{2} * \frac{1}{3 * 10^{-6} * 50} * \frac{100}{115^2} = 25,2$$

$$X_{10} = X_0 * L * \frac{S_B}{U_{o'r}^2} = 0,4 * 75 * \frac{100}{115^2} = 0,23 \quad r_{10} = 0,07$$

$$X_{11} = X_0 * L * \frac{S_B}{U_{o'r}^2} = 0,4 * 50 * \frac{100}{115^2} = 0,15$$

$$r_{11} = 0,12 * 50 * \frac{100}{115^2} = 0,05$$

$$X_{12} = \frac{U_k}{100} * \frac{S_B}{S_{nom}} = \frac{12}{100} * \frac{100}{32} = 0,38$$

$$r_{12} = \frac{0,17 * 100}{40 * 40} = 0,01$$

$$X_{13} = X'' * \frac{S_B}{S_{nom}} = 0,35 * \frac{100}{10} = 3,5$$

$$X_{14} = \frac{S_B}{S_{KB}} = \frac{100}{20} = 5,0$$

$$X_{15}=X_9=25,2$$

$$X_{16}=X_5=16,8$$

$$X_{17} = \frac{U_k}{100} * \frac{S_B}{S_{nom}} = \frac{12}{100} * \frac{100}{125} = 0,096$$

$$r_{17} = \frac{0,4}{125} * \frac{100}{125} = 0,002$$

$$X_{18} = X'' * \frac{S_B}{S_{nom}} = 0,35 * \frac{100}{40} = 0,88$$

$$X_{19} = X_d * \frac{S_B}{S_{nom}} = 0,15 * \frac{100}{100} = 0,15$$

$$X_{20} = \frac{S_B}{S_{KB}} = \frac{100}{50} = 2,0$$

3. 6 fazali VO' uchun tok garmonikalari  $v=5, 7, 11, 13, 17, 23, 25.$

12 fazali VO' uchun tok garmonikalari  $v=11, 13, 23, 25.$

$$I_{1v} = \frac{S_{VO'}}{S_{bv}} (\cos \varphi + j \sin \varphi);$$

$$I_{1v} = \frac{0,25}{v} (\cos 10^0 + j \sin 10^0);$$

$$I_{2v} = \frac{0,15}{v} (\cos 20^0 + j \sin 20^0);$$

$$I_{3v} = \frac{0,3}{v} (\cos 30^\circ + j \sin 30^\circ);$$

Pastda o‘zgarishlarning garmonik toklari qiyatlari nisbiy birlikda keltirilgan.

$v$	5	7	11	13	17	19	23	25
$I_{1v}$	0,05	0,036	0,023	0,019	0,015	0,013	0,011	0,010
$I_{2v}$	0,03	0,021	0,014	0,012	0,009	0,008	0,007	0,006
$I_{3v}$	0,00	0,000	0,027	0,023	0,000	0,000	0,013	0,012

4. Shoxobchalardagi YU.G toklarini tugun kuchlanishlari usulida aniqlaymiz. Buning uchun tenglamalar tizimini yechish zarur.

$$G_{11}\varphi_1 + G_{12}\varphi_2 + G_{13}\varphi_3 + G_{14}\varphi_4 = 0$$

$$G_{21}\varphi_1 + G_{22}\varphi_2 + G_{23}\varphi_3 + G_{25}\varphi_5 = 0$$

$$G_{33}\varphi_3 + G_{32}\varphi_2 + G_{35}\varphi_5 + G_{36}\varphi_6 = 0$$

$$G_{41}\varphi_1 + G_{44}\varphi_4 = J_{44}$$

$$G_{52}\varphi_2 + G_{55}\varphi_5 = J_{55}$$

$$G_{63}\varphi_3 + G_{66}\varphi_6 = J_{66}$$

YU.G ni hisoblash 2.1-rasmda keltirilgan algoritmlar asosida amalga oshiriladi. Sxema tugunlardagi kuchlanishning hisoblari 3.1-jadvalda keltirilgan.

### 3.1-jadval

#### Nisbiy birlikda sxema tugunlaridagi kuchlanish

$v$	$U_1$	$U_2$	$U_3$	$U_4$	$U_5$	$U_6$
5	0,108	00,43	$4,831 \cdot 10^{-3}$	0,167	0,023	0,053
7	0,033	0,056	0,019	0,031	0,09	0,015
11	$7,096 \cdot 10^{-3}$	$7,454 \cdot 10^{-3}$	$6,774 \cdot 10^{-3}$	$8,071 \cdot 10^{-3}$	$9,399 \cdot 10^{-3}$	$4,813 \cdot 10^{-3}$
13	0,019	0,023	$5,218 \cdot 10^{-3}$	$7,225 \cdot 10^{-3}$	$5,236 \cdot 10^{-3}$	$4,857 \cdot 10^{-3}$
17	$1,002 \cdot 10^{-3}$	$1,445 \cdot 10^{-3}$	$6,819 \cdot 10^{-4}$	$3,304 \cdot 10^{-3}$	$3,225 \cdot 10^{-3}$	$5,343 \cdot 10^{-3}$
19	$5,243 \cdot 10^{-4}$	$5,599 \cdot 10^{-4}$	$1,07 \cdot 10^{-4}$	$2,557 \cdot 10^{-3}$	$2,453 \cdot 10^{-3}$	$6,604 \cdot 10^{-3}$

23	$1.971 \cdot 10^{-4}$	$2.147 \cdot 10^{-4}$	$4.312 \cdot 10^{-4}$	$1.682 \cdot 10^{-3}$	$1.578 \cdot 10^{-3}$	$1.204 \cdot 10^{-3}$
25	$1.371 \cdot 10^{-4}$	$1.196 \cdot 10^{-4}$	$2.73 \cdot 10^{-4}$	$1.408 \cdot 10^{-3}$	$1.311 \cdot 10^{-3}$	$1.006 \cdot 10^{-3}$

% hisobida sxema tugunlaridagi  $K_{ns}$ :

$$K_{ns1} = 11,477; \quad K_{ns3} = 2,097; \quad K_{ns5} = 9,343;$$

$$K_{ns2} = 7,438; \quad K_{ns4} = 17,055; \quad K_{ns6} = 5,546.$$

3.13-misol. 6 fazali  $V.O'$  ulangan. Podstansiyaning 10 kVli shinasidagi kuchlanishning nosinusoidallik koeffitsiyentini aniqlang. Transformator quvvati  $S_T=10$  MVA; Q.T kuchlanishi  $U_{q,t}=9,5\%$ ; 10 kVli shinadagi Q.T quvvati  $S_{q,t}=300$  MVA; V.O' quvvati  $S_{V.O'}=8,8$  MVA;  $\cos\varphi=0,8$ ; boshqarish burchagi  $\alpha=20^\circ$ ; kommutatsiya burchagi  $\gamma=12^\circ$ . Yechish.  $V.O'$  quvvati  $S_{V.O'}$  ga keltirilgan E.T ning 10 kV shinasidagi qarshiligi:

$$X_K = \frac{S_{V.O'}}{S_K} = \frac{8,8}{300} = 0,029$$

$V.O'$  transformatorining qarshiligi:

$$X_T = \frac{U_K}{100} * \frac{S_{V.O'}}{S_T} = \frac{9,5}{100} * \frac{8,8}{10} = 0,084$$

Kommutatsiya impulsning nisbiy qiymati:

$$\Delta U^* = \frac{X_K}{X_T + X_K} = \frac{0,029}{0,029 + 0,084} = 0,26$$

2-ifodaga asosan,

$$K_{ns} = 0,96 * \Delta U^* \sin(\alpha + \frac{\gamma}{2}) * \sqrt{\gamma} = 0,96 * 0,26 * \sin(20 + \frac{12}{2}) * \sqrt{12 \frac{\pi}{180}} = 0,05 = 5\%$$

Nazorat savollari

1. Kuchlanishining nosinusoidalligini yuzaga keltiruvchi eng ko‘p tarqalgan elektr iste’molchilar?
2. Transformator va tizim qarshiligi qanday topiladi?
3. Kuchlanish sinusoida shaklining buzilish koeffitsiyenti qanday topiladi?

## 4 - AMALIY MASHG'ULOT

### KUCHLANISH NOSIMMETRIYASINI HISOBLASH

Teskari ketma-ketlik bo'yicha nosimmetriya koeffitsiyentini hisoblash va nosimmetriyani baholash.

Elektr ta'minoti tizimining nosimmetriya tartibi shunday tartibki, unda elektr tarmog'ida bir yoki hamma fazalarining ishlash sharti bir xil bo'lmaydi.

Nosimmetriya qisqa va uzoq vaqtli nosimmetriyaga bo'linadi. Qisqa vaqtli nosimmetriya ko'pincha elektr tarmoqlaridagi QT, simlarning uzilishi va yer bilan tutashuvi, bir fazali A.Q.U. da fazaning o'chishi kabi avariya jarayonlari bilan bog'langan. Uzoq vaqtli nosimmetriya elektr tarmog'i elementlarida nosimmetriyaning bo'lishi yoki elektr ta'minoti tizimiga nosimmetriyali elektr iste'molchilarining ulanishidan yuzaga keladi. Ushbu iste'molchilar qatoriga yoritish uskunalari, bir fazali elektr payvandlash qurilmalari, yoyli po'lat eritish pechlari, elektr shlakli qayta eritish qurilmalari, o'zgaruvchan tokli elektr yuritgichlar kiradi. Fazada nosimmetriyali yuklamaning bo'lishi teskari va nol ketma-ketlik toklarini yuzaga keltiradi. Ushbu toklar tarmoq elementlaridan oqib, tegishli teskari va nol ketma-ketlik kuchlanishning pasayishini yuzaga keltiradi va to'g'ri ketma-ketlik sanoat chastotasida qo'shib, tarmoq nosimmetriyasiga olib keladi.

Kuchlanish nosimmetriyasi quyidagi ko'rsatkichlar bilan tavsiflanadi:

- Kuchlanish nosimmetriyasining teskari ketma-ketlik koeffitsiyenti;
- Kuchlanish nosimmetriyasining nol ketma-ketlik koeffitsiyenti.

0,38 kV li nominal kuchlanishdagi 4 simli elektr tarmoqlariga umumiylanadigan nuqtalardagi kuchlanish nosimmetriyasi teskari ketma-ketlik bo'yicha me'yoriy va chegaraviy ruxsatlangan qiymatlar tegishli 2,0 va 4,0 % ga teng.

Teskari ketma-ketlik bo'yicha nosimmetriya koeffitsiyenti:

$$K_{2U} = \frac{U_2}{U_{nom}} * 100\% \quad (4.1)$$

bu yerda,  $U_2$ -kuchlanishning teskari ketma-ketligining amaldagi qiymati.

$$U_2 = I_{2EKV} * Z_{EKV} \quad (4.2)$$

bu yerda,  $I_{2EKV}$  - yuklama nosimmetriyasidan yuzaga keladigan teskari ketma-ketlikning ekvivalent toki.

$Z_{2\Sigma}$ -tarmoq teskari ketma-ketlik qarshiliklari yig‘indisi.

Bir fazali yuklama liniya kuchlanishiga ulanganda teskari ketma-ketlik toki va tokning boshlang‘ich fazasi quyidagi munosabatdan aniqlanadi:

$$I_2 = \frac{\sqrt{3}}{6} * \sqrt{3I_{AB}^2 + (I_{AB} - 2I_{BC})^2} \quad (4.3)$$

$$\psi_2 = \operatorname{arctg} \frac{\sqrt{3}I_{AB}}{I_{AB} - 2I_{BC}} - \varphi_N \quad (4.4)$$

yoki quvvat orqali

$$I_2 = \frac{\sqrt{3}}{6U_K} * \sqrt{3S_{AB}^2 + (S_{AB} - 2S_{BC})^2} \quad (4.5)$$

$$\psi_2 = \operatorname{arctg} \frac{\sqrt{3}S_{AB}}{S_{AB} - 2S_{BC}} - \varphi_N \quad (4.6)$$

bu yerda,  $\varphi_N$  - yuklamaning faza burchagi.

Umumiyl holatda qarshilikning teskari ketma-ketligini shina seksiyasi yoki tizimiga nisbatan

$$Z_{2^*} = \frac{\sqrt{(\sum_{i=1}^n S_{Ni} * \cos \varphi_i)^2 + (\sum_{i=1}^n S_{Ni} * \sin \varphi_i)^2}}{\sqrt{(\sum_{i=1}^n S_{Ni} * Y_i * \cos \varphi_i)^2 + (\sum_{i=1}^n S_{Ni} * Y_i * \sin \varphi_i)^2}} \quad (4.7)$$

bu yerda,  $S_{Ni}$ ,  $\varphi_i$  - ulangan  $i$ -liniyali yoki noliniyalı yuklama qismining nominal quvvati va faza burchagi;  $Y_i$  –  $i$  - ulanishning to‘liq o‘tkazuvchanligining nisbiy qiymati.

$$\arg Z_{2^*} = \operatorname{arctg} \frac{\sum_{i=1}^n S_{Ni} * Y_i * \sin \varphi_i}{\sum_{i=1}^n S_{Ni} * Y_i * \cos \varphi_i} \quad (4.8)$$

Ko‘pincha teskari ketma-ketlik bo‘yicha kuchlanish nosimmetriya koeffitsiyentini aniqlashda tarmoq almashtiruv sxemasining elementlari o‘tkazuvchanlik ko‘rinishida amalga oshiriladi.

$$Y_2 = \frac{1}{Z_2} \quad (4.9)$$

Bunda almashtiruv sxemasi elementlarining teskari ketma-ketlik qarshiliklari quyidagi ifodalardan aniqlanadi:

- Tizim qarshiligi:  $X_{2S} = \frac{U_N^2}{S_T}$  (4.10)

- Kondensator batareya qarshiligi:  $X_{2KB} = \frac{U_N^2}{Q_{KB}}$  (4.11)

- Simmetriyalı yuklama qarshiligi:  $Z_{2n} = Z_{2n} * \frac{U_{nN}^2}{S_{sim}}$  (4.12)

bu yerda,  $Z_{2n} = (0,18 + j0,24)$ ,  $U_N = 6 \text{ kV}$  va  $10 \text{ kV}$ ,  $Z_{2n} = (0,19 + j0,36)$   $U_N = 35 \text{ kV}$  va  $110 \text{ kV}$  bo‘lganda.

- Motor qarshiligi:  $X_{2MOT} = X_{MOT} * \frac{U_N^2}{S_{MOT}}$  (4.13)

bu yerda,  $X_{MOT}^* = \frac{1}{K_{u,T}}$ ;  $K_{u,T}$  ishga tushirish tokining karraligi.

- O‘zgartgich qarshiligi:  $X_{2o'zg} = 2,5 * \frac{U_n^2}{S_{o'zg}}$  (4.14)

bu yerda,  $S_{o'zgar}$ -o‘zgartgich iste’mol qiladigan quvvati. YOPP rudotermik pechlar.

$$X_{2p} = U_{nom}^2 / S \quad (4.15)$$

- Yoritgich yuklamalari:  $Z_{2n} = 4 * U_{nom}^2 / P$   
 $P$ -yuklama quvvati.

Fazalararo kuchlanish nosimmetriyasi teskari ketma-ketlik, fazasimmetriyasi esa nol ketma-ketlik tashkil etuvchilarning mavjudligidan hosil bo‘ladi. Kuchlanishning to‘g‘ri –  $U_1$ , teskari –  $U_2$ , nol –  $U_0$  ketma-ketlik simmetrik tashkil etuvchilari quyidagi ma’lum ifodalar asosida aniqlanadi.

$$U_1 = \frac{1}{3}(U_A + aU_B + a^2U_C) \quad (4.16)$$

teskari ketma-ketlik

$$U_2 = \frac{1}{3}(U_A + a^2U_B + aU_C) \quad (4.17)$$

nol ketma-ketlik

$$U_0 = \frac{1}{3}(U_A + U_B + U_C) \quad (4.18)$$

bu yerda,  $(U_A, U_B, U_C)$  –tarmoqlarning faza kuchlanishlari.

$$a = e^{\frac{j2\pi}{3}} = \frac{1}{2} + j\frac{\sqrt{3}}{2} \quad - \text{faza ko'paytmasi deb ataluvchi son.}$$

$$a^2 = e^{\frac{j2\pi}{3}} * e^{\frac{j2\pi}{3}} = \frac{1}{2} - j\frac{\sqrt{3}}{2}$$

Nosimmetriya koeffitsiyenti elektr energiya sifatining me'yorlashgan ko'rsatkichi bo'lib, ГООСТ-13/09-97 ga asosan, har qanday uch fazali simmetrik iste'molchilar qisqichlarida  $K_{nsm.v} \leq 2\%$  ga uzoq vaqtli ruxsat etilgan.

ГООСТ 13109-97 ga asosan, teskari ketma-ketlik kuchlanishi  $U_2$  liniyali kuchlanishlar  $U_{AB}, U_{BC}, U_{CA}$  orqali quyidagi formuladan aniqlanadi:

$$U_2 = \sqrt{\frac{1}{12} [(\sqrt{3}U_{AB} - \sqrt{4U_{BC}^2 - (\frac{U_{BC}^2 - U_{AC}^2}{U_{AB}} + U_{AB})^2 + (\frac{U_{BC}^2 - U_{AC}^2}{U_{AB}})^2})]} \quad (4.19)$$

1% kam xatolik bilan quyidagi ifodadan aniqlash mumkin:

$$U_2 = \frac{2}{3} \sqrt{(\Delta U_{BC} - \Delta U_{CA})^2 + \Delta U_{BC} * \Delta U_{CA}} \quad (4.20)$$

bu yerda,  $\Delta U_{BC} = U_{BC} - U_{CA}$ ;  $\Delta U_{CA} = U_{CA} - U_{AB}$ .

ГООСТ 13109-97 ga asosan kuchlanishning to'g'ri ketma-ketligi  $U_I$  quyidagi formuladan aniqlanadi:

$$U_1 = \frac{1}{3}(U_{AB} + U_{BC} + U_{CA})$$

Hisoblashda asosiy kuchlanishning teskari ketma-ketligi ifodaga asosan aniqlanadi:

$$U_2 = I_{2\Sigma} * Z_{2\Sigma} \quad (4.21)$$

bu yerda,  $I_{2\Sigma}$  -yuklamalar nosimmetriyasidan yuzaga kelgan teskari ketma-ketlikning ekvivalent toki;  $Z_{2\Sigma}$  -tarmoq teskari ketma-ketligining ekvivalent qarshiligi.

Bir fazali yuklamaning  $U_{AB}$ ,  $U_{BC}$ ,  $U_{CA}$  liniyali uchta kuchlanishga ulanganida teskari ketma-ketlik toki  $I_2$  va uning boshlang‘ich fazasi  $\varphi_{I2}$  quyidagi ifodadan aniqlanadi:

$$I_2 = \frac{\sqrt{3}}{3} \sqrt{I_{AB}^2 + I_{BC}^2 + I_{CA}^2 - I_{AB} * I_{BC} - I_{BC} * I_{CA} - I_{CA} * I_{AB}} \quad (4.22)$$

$$\varphi_{I2} = \operatorname{arctg} \frac{\sqrt{3}I_{AB} + I_{BC} - 2I_{CA}}{I_{AB} - I_{BC}} - \varphi_n \quad (4.23)$$

To‘liq quvvatda berilganda:

$$I_2 = \frac{\sqrt{3}}{3U_{NOM}} \sqrt{S_{AB}^2 + S_{BC}^2 + S_{CA}^2 - S_{AB} * S_{BC} - S_{BC} * S_{CA} - S_{CA} * S_{AB}} \quad (4.24)$$

$$\varphi_{I2} = \operatorname{arctg} \frac{\sqrt{3}S_{AB} + S_{BC} - 2S_{CA}}{S_{AB} - S_{BC}} - \varphi_n \quad (4.25)$$

Liniyali kuchlanish  $AB$  va  $BC$  ga ikki bir fazali yuklama ulanganida ifodani quyidagi ko‘rinishga o‘zgartirishi mumkin:

$$I_2 = \frac{\sqrt{3}}{3U_{NOM}} \sqrt{S_{AB}^2 + S_{BC}^2 - S_{AB} * S_{BC}} \quad (4.26)$$

$$\varphi_{I2} = \operatorname{arctg} \frac{\sqrt{3}S_{AB} + S_{BC}}{S_{AB} - S_{BC}} - \varphi_n \quad (4.27)$$

Fazasi  $\varphi_N$  bo‘lgan bir fazali yuklama juft liniya kuchlanishiga ulanganda, teskari ketma-ketlik tokining boshlang‘ich fazasi  $\varphi_{I2}$  quyidagi oraliqda bo‘ladi:

$$\begin{aligned}
 AB \text{ va } BC & \quad 30^\circ - \varphi_N \leq \varphi_{I2} \leq 150^\circ - \varphi_N ; \\
 BC \text{ va } CA & \quad 150^\circ - \varphi_N \leq \varphi_{I2} \leq 270^\circ - \varphi_N ; \\
 CA \text{ va } AB & \quad 270^\circ - \varphi_N \leq \varphi_{I2} \leq 30^\circ - \varphi_N .
 \end{aligned}$$

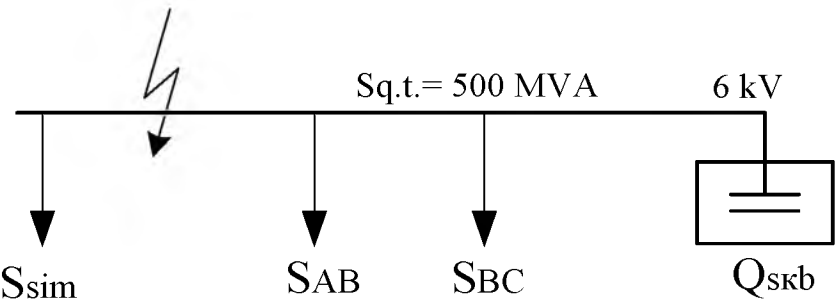
ET asosiy tarmoqlariga ulangan korxonaning taqsimlovchi tarmoqlarining 6-10 kV shinalaridagi Q.T. quvvati  $S_{q,t} \geq 200$  MVA da  $Z_{2\Sigma} = X_Q$  qabul qilish mumkin. Bu yerda,  $X_Q = U^2_{NOM} / S_Q$ .

110 kv kuchlanishli tarmoq tugunlari  $Z_{2\Sigma}$  va  $|Z_{2\Sigma}|$  qiymatlari 4.1-jadvalda keltrilgan.

4.1-jadval

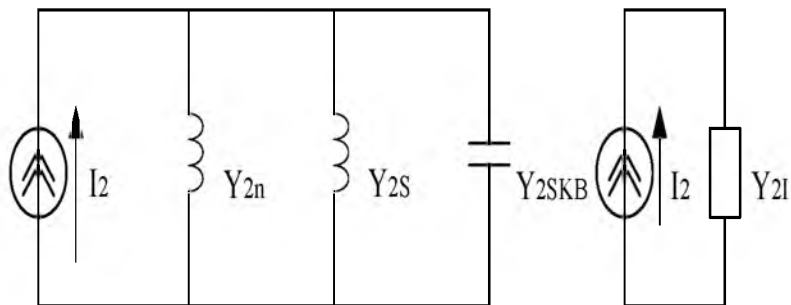
Ishlab chiqarish	$Z_{2\Sigma}$	$ Z_{2\Sigma} $
Prokat sex	0,51+j0,68	0,85
Mashinasozlik korxonasi	0,33+j0,49	0,59
Sanoat markazi	0,50+j0,68	0,83
Rangli materiallar korxonasi	0,49+j0,52	072
Qog'oz ishlab chiqarish korxonasi	0,15+j0,29	0,38
Kimyo korxonasi	0,21-j0,46	0,51
Tortuvchi podstansiya	1,12+j0,36	1,24

4.1-misol. Taqsimlash qurilmasi shinasiga quyidagi yuklamalar (4.1-rasm) uch fazali simmetrik  $S_{sim} = 25$  MVA quvvatli, ikki, bir fazali  $S_{AB} = 11$  MVA va  $S_{BC} = 9$  MVA quvvatli, har xil fazalar orasidagi kuchlanishga va  $Q_{SKB} = 10$  MVAr quvvatli statik kondensator batareyasi ulangan. Taqsimlovchi qurılma shinasidagi qisqa tutashuv quvvati  $S_{QT} = 500$  MVA. Kuchlanishning teskari ketma-ketlik nosimmetriya koeffitsiyentini aniqlash va uni ruxsatlangan oraliqdaligini baholash talab etiladi.



4.1-rasm. T.Q shinasida yuklamalarning joylashishi

Kuchlanishning nosimmetriya hisobi tarmoqning teskari ketma-ketligi almashtiruv sxemasida (4.2-rasm) amalga oshiriladi, bunda nosimmetriya manbai (bir fazali yuklama) teskari ketma-ketlik toki  $I_2$  bilan, sxema elementlari (simmetrik yuklama, SKB, tizim) teskari ketma-ketlik o'tkazgichlari bilan belgilandi. Tarmoqning almashtiruv sxemasi 4.2-rasmida ko'rsatilgan.



4.2-rasm. Almashtiruv sxemasi

Almashtiruv sxemasi parametrлари:

$$Y_{2C} = \frac{S_T}{U_n^2} = \frac{500}{6^2} = 13,89 Sm$$

$$Y_{2n} = \frac{1}{Z_{2n}} * \frac{S_{sim}}{U_n^2} = \frac{1}{(0,18 + j0,24)} * \frac{25}{6^2} = 1,39 - j1,85 Sm$$

$$Y_{2SKB} = -\frac{Q_{NBB}}{U_n^2} = -\frac{10}{6^2} = -0,27 Sm$$

Teskari ketma-ketligi o'tkazuvchanliklari yig'indisi:

$$Y_{2\Sigma} = Y_{2N} + Y_{2S} - Y_{2SKB} = (1,39 - j1,85) + 13,89 - 0,27 = (15,01 - j1,85) Sm.$$

$|Y_{2\Sigma}| = 15,038 Sm$  liniya kuchlanishiga ( $U_{AB}$  va  $U_{BC}$ ) ulangan bir fazali (ekvivalent) yuklama quvvati:

$$S_{bir.faz} = \sqrt{3S_{AB}^2 + (S_{AB} - 2S_{BC})^2} = \sqrt{3*11^2 + (11 - 2*9)^2} = 20,3 MVA$$

Bir fazali yuklamaning teskari ketma-ketlik toki quyidagi ifodadan aniqlanadi:

$$I_2 = \frac{\sqrt{3}S_{bir.faz}}{6U_n} = \frac{\sqrt{3} * 20,3}{6 * 6} = 0,976kA$$

Teskari ketma-ketlik kuchlanishi:

$$U_2 = \frac{I_2}{|Y_{2\Sigma}|} = \frac{0,976}{15,038} = 0,0649kV$$

Teskari ketma-ketlik nosimmetriya koeffitsiyenti:

$$K_{2U} = \frac{U_2}{U_{nom}} * 100\% = \frac{0,0649}{6} * 100\% = 1,08\%$$

Ushbu sxema uchun kuchlanish teskari ketma-ketligini ruxsatlangan nosimmetriya koeffitsiyenti  $K_{2U_{rux}}=2\%$ . Shunday qilib,  $K_{2U_{rux}} > K_{2U}$  uch fazali va bir fazali yuklamalar birgalikda ishlashi mumkin.

4.2-misol. Energetika tizimining rayon podstansiyasidan ta'minlanadigan 6 kV li elektr eritish sexi tarmog'iga  $S_{o.z}=5$  MVA,  $\cos\varphi=0,866$ , bir fazali shlakli eritish uskunasi ulangan. Ulanish tugunidagi qisqa tutashuv quvvati  $S_{qt}=136$  MVA. Kompensatsiya sharti bo'yicha zarur quvvat  $Q_{KU}=5$  MVAr. Bir fazali yuklama B va C fazalarga ulangan:  $P_{BC}=4,33$  MVt,  $Q_{BC}=2,5$  MVAr,  $\varphi=30^\circ$ . Kuchlanishning teskari ketma-ketligini aniqlang va zarur bo'lsa simmetriyalash qurilmasini tanlang.

Yechish. Kuchlanishning nosimmetriya koeffitsiyentlarini aniqlaymiz:

$$\lambda = \frac{\sqrt{3}}{2}(P_{AB} - P_{CA}) - \frac{1}{2}(Q_{AB} - Q_{CA}) + Q_{BC} = \frac{\sqrt{3}}{2}(0 - 0) - \frac{1}{2}(0 - 0) + 2,5 = 2,5$$

$$\beta = \frac{1}{2}(P_{AB} - P_{CA}) - \frac{\sqrt{3}}{2}(Q_{AB} - Q_{CA}) + P_{BC} = 4,33; \quad \delta u = (u_1 - u_{nom}) / u_{nom} = 0$$

(qabul qilamiz  $u_1 = u_{nom}$ ).

$$\Psi_u = \arctg\left(\frac{B}{\lambda}\right) = \arctg\left(\frac{4,33}{2,5}\right) = 60^\circ;$$

$$\varepsilon_2 = (1 + \delta u) \sqrt{\lambda^2 + \beta^2} \frac{e^{j\Psi_u}}{S_K} = (1 - 0) * \sqrt{2,5^2 + 4,33^2} e^{j60^\circ} / 136 = 0,0368 e^{j60^\circ}.$$

olingan qiymatdan ko'rindiki,  $\varepsilon_2$  ruxsatlangan qiymatdan 1,84 marta katta, shuning uchun simmetriyalovchi uskuna (SQ) o'rnatish zarur. SQ parametrlarini aniqlaymiz.

Qabul qilamiz  $V_t=0$ ,  $\varepsilon_2=\varepsilon_{2rux}=0,02$  va quyidagi yordamchi matematik hisoblardan aniqlaymiz:

$$A = \frac{\varepsilon_{2rux} \cos \psi_u}{1 + \partial u_{rux}} = 0,02 * 0,5 / (1 + 0) = 0,01;$$

$$B = \varepsilon_{2rux} \sin \psi_u / (1 + \partial u_{rux}) = 0,0178;$$

$$C = BS_K + S_{AB} \cos(60^\circ - \psi_{AB}) - P_{BC} + S_{CA} \cos(60^\circ + \psi_{CA}) = 1,98;$$

$$D = -AS_K + S_{AB} \sin(60^\circ - \psi_{AB}) + Q_{BC} - S_{CA} \sin(60^\circ + \psi_{CA}) = 1,14.$$

SQ elementlarining reaktiv quvvatini aniqlaymiz:

$$Q_{AB} = \frac{1}{3} [\sqrt{3}C - D - Q_{cy}(1 - A - \sqrt{3}B)] = \frac{1}{3} [\sqrt{3}(-1.98) - 1.14 - (-5)(1 - 0.001 - \sqrt{3} * 0.0173)] = -0.077$$

$$Q_{BC} = -\frac{1}{3} [3D - Q_{cy}(1 + 2A)] = -\frac{1}{3} [2 * 1.14 - (-5)(1 + 2 * 0.01)] = -2.46;$$

$$Q_{CA} = \frac{1}{3} [\sqrt{3}C + D + Q_{cy}(1 - A + \sqrt{3}B)] \\ = \frac{1}{3} [\sqrt{3}(-1.98) + 1.14 + (-5)(1 - 0.01 + \sqrt{3} * 0.0173)] = -2.46$$

$$Q_{cy} = Q_{AB} + Q_{BC} + Q_{CA} = -(0.077 + 2.46 + 2.46) \approx -5000 \text{ kBAp}$$

Kuchlanish nosimmetriyasini to‘liq kompensatsiya qilish uchun elementlarning o‘rnatilgan quvvatini nisbatan qisman kompensatsiya qilish talab etiladi.

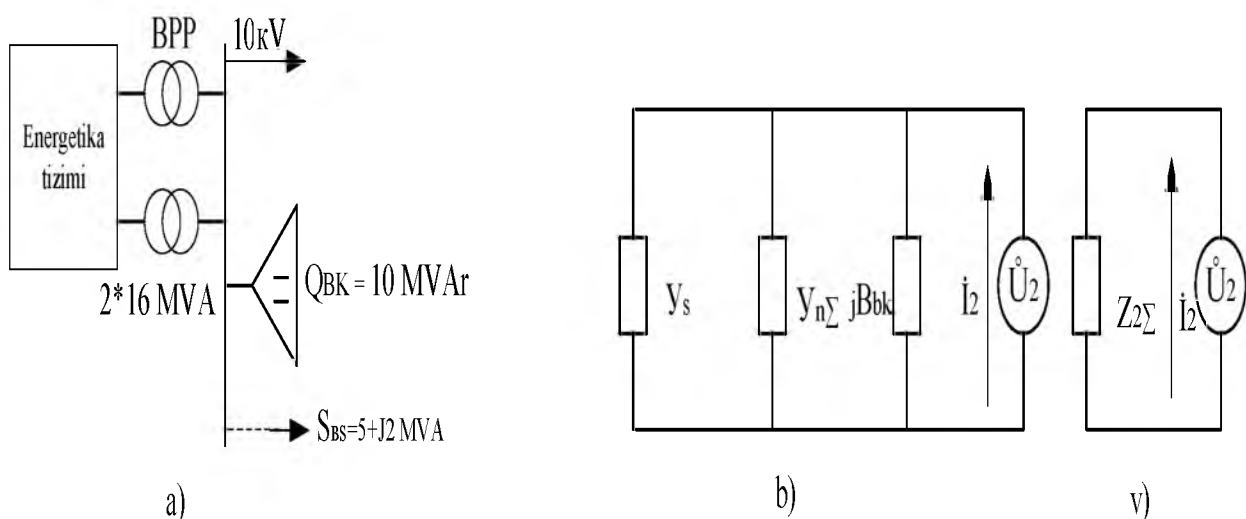
Generatsiya qilinayotgan  $Q_{CK}=5000$  kVAr quvvatda  $\varepsilon_2=0$   $S_{o,r}=83,3$  kVA  $\varepsilon_2=0,02$  da  $S_{o,r}=5000$  kVA.

4.3-misol. Sanoat korxonasi energetika tizimiga ulangan bosh pasaytiruvchi podstansianing 10 kV shinasidan ta’minlanadi (4.3a-rasm). BPP ga har biri 16 MVA quvvatli ikki transformator o‘rnatilgan. Transformatorlar parallel ishlaydi. Eng katta yuklama tartibida korxonalar yuklamalarining yig‘indisi  $S_{yu\Sigma}=20+j18$  MVA, tarmoqqa rostlanmaydigan 10 MVAr quvvatli kondensator batareyalari o‘rnatilgan. Eng kam yuklama tartibida korxonaning to‘liq quvvati  $10+j10$  MVA ni tashkil etadi. Bu tartibda transformatorlarning biri o‘chiriladi. Yuklama fazalar bo‘yicha simmetrik taqsimlangan 10 kV li taqsimlovchi tarmoqning uzunligi nisbatan kichik.

Korxonaning ta’minlaydigan tizim quvvati anchagina katta, 10 kVli shinalardagi Q.T quvvati  $S_{q,t}=200$  MVA. Korxona BPP ga yaqin B,C

fazalar orasiga o‘zgarmas bir fazali  $S_{bc}^I = 5+j2$  MVA quvvat ulash talab qilinadi.

Yechish. Ko‘rsatilgan yuklamani ulash mumkinligini tekshirish uchun aniqlash kerak: a) kuchlanishning teskari ketma-ketligi va kuchlanish nosimmetriyasi; b) eng katta va eng kichik yuklamada BPP transformatori fazalaridagi tokning teskari ketma-ketligi va toklarning yig‘indisi; v) tarmoqda aktiv quvvatning ko‘payishini, taqsimlash tarmog‘ining uzunligi katta bo‘limgani uchun, hamma yuklama BPP ni 10 kV li shinalariga ulangan deb faraz qilish mumkin. Hisoblash nisbiy birlikda olib boriladi. Yozishni soddalashtirish uchun belgilash “X” ni tushirib qoldiramiz. Ba’zi qiymatlar uchun tarmoqning nominal kuchlanishi 10 kV va bir transformatorning quvvati  $S_T = 16$  MVA qabul qilinadi.



4.3-rasm. a) tarmoqning prinsipial sxemasi; b) teskari ketma-ketlikning almashtiruv sxemasi; v) teskari ketma-ketlik almashtiruv sxemasini keltirish

Kuchlanish nosimmetriyasini aniqlash. 4.3b-rasmda teskari ketma-ketlik sxemasi ko‘rsatilgan. U uchta parallel shoxobcha o‘tkazuvchanlik  $Y_c$  bilan ta’minalash sistemasining ekvivalent shoxobchasi; o‘tkazuvchanligi  $Y_{N\Sigma}$  bilan qurilayotgan korxonaning taqsimlash tarmog‘i va o‘tkazuvchanlik  $B_{KB}$  bilan kondensator batareyalari almashtiriladi.

Nol ketma-ketlik ko‘rilayotgan sxemada yo‘q, chunki nol ketma-ketlik yuzaga kelmaydi. Shoxobcha teskari ketma-ketlik qarshiligi uning to‘g‘ri ketma-ketlik qarshiligiga teng, ta’minlovchi tarmoq va

transformatorning aktiv qarshiligi nolga teng deb qabul qilinadi. Tizim shoxobchasining ekvivalent qarshiligi  $X_c$  BPP 10 kV shinasidagi qisqa tutashuv quvvati  $S_{QT}$  dan aniqlanadi:

$$X_c = \frac{S_T}{S_Q} = \frac{16}{200} = 0,08$$

Tizim shoxobchasining o'tkazuvchanligi:

$$Y_c = \frac{1}{0 + j0,08} = -j12,5$$

Korxona 10 kV li simmetrik yuklamasining teskari ketma-ketlik ekvivalent qarshiligi va uning umumiyligini quvvatidan taxminan aniqlanadi:

$$S_{H\Sigma} = \frac{\sqrt{20^2 + 18^2}}{16} = 1.69Z_{2H} = (0.18 + j0.24)/1.69 = 0.106 + j0.142$$

6-10 kV li tarmoqqa ulangan yuklama uchun  $Z_{2x}=0,18+j0,24$

4.4b - rasmdagi simmetrik yuklamalni shoxobchaning o'tkazuvchanligi:

$$Y_{N\Sigma} = \frac{1}{0,106 + j142} = 3,40 - j4,50$$

Kondensator shoxobchasining sig'imi o'tkazuvchanligi:

$$B_{KB} = \frac{Q}{S_{TP}} = \frac{10}{16} = 0,625$$

To'liq sxema uchun teskari o'tkazuvchanlik ekvivalent modulini ularning ayrim o'tkazuvchanliklarining yig'indisidan aniqlanadi:

$$Y_{2\Sigma} = |-12,5 + 3,4 - j4,5 + j0,625| = |3,4 - j16,38| \approx 16,7$$

Teskari ketma-ketlik sxemasining ekvivalent qarshiligi:

$$Z_{2\Sigma} = \frac{1}{Y_{2\Sigma}} = \frac{1}{16,7} = 0,06$$

Nosimmetrik yuklama  $S_{BC}$  ikki faza o'rtasiga ulanadi. Ushbu yuklama  $I_2$  tokining teskari ketma-ketligi, modul bo'yicha to'liq toki  $I_{BC}$  dan  $\sqrt{3}$  marta kichik,  $I_{BC}$ -nisbiy birlikda  $I_{BC} = S_{BC}$ . Bundan tashqari, bir fazali yuklamaning to'liq toki simmetrik yuklama yuzaga keltiradigan tokdan  $\sqrt{3}$  marta, to'liq quvvatdan 3 marta kichik.

Shunday qilib, teskari ketma-ketlik tokining nisbiy qiymati teng bo'ladi:

$$I_2 = \frac{3 * S_{BC}}{\sqrt{3} * S_b * \sqrt{3}} = \frac{\sqrt{5^2 + 2^2}}{16} = 0,338$$

Teskari ketma-ketlik kuchlanishining absolyut qiymati nisbiy birlikda teng:

$$U_2 = I_2 * Z_{2\Sigma} = 0,338 * 0,06 = 0,0203$$

Nominal kuchlanishning 2% yaqin qiymatini tashkil etadi. Teskari ketma-ketlikning olingan qiymati  $U_{2D}=2\%$  elektr motorlar qisqichlari uchun ruxsat etiladi. (TOCT-13109). Korxona elektr yoritish iste'molchilari uchun nominal kuchlanishdan og'ishi -2,5 dan +5% gacha ruxsatlanadi. Kuchlanish teskari ketma-ketligining bo'lishi kuchlanish to'g'ri ketma-ketligining ruxsatlangan og'ishini tegishli holda kamaytiradi. Ko'rileyotgan holatda  $U_2$  ni kamaytirish uchun maxsus choralar ko'rish talab etilmaydi. Ko'p hollarda korxona taqsimlash tarmoqlari parametrlarining mahalliy sharoitlariga qarab  $U_2$  juda katta bo'lib, uni kondensatorlar yordamida kamaytirish mumkin.

BPP transformatorlari fazalariga nosimmetrik yuklamalar ulangandan keyin tokning to'g'ri va teskari ketma-ketliklari qo'shib aniqlanadi. Simmetrik yuklamada, ulangan BK ni hisobga olib toklarning to'g'ri ketma-ketligi matritsasi teng bo'ladi:

$$I_{N\Sigma} = \left( \frac{20-j18}{16} + j \frac{10}{16} \right) S_1 = (1,25 - j0,5) |1a^2a|$$

Faza A uchun kuchlanishning to'g'ri ketma-ketligi argumenti nolga teng deb qabul qilindi. Nosimmetrik yuklama B va C fazalar orasiga ulanganda, kuchlanish kompleksining argumenti ushbu yuklamada:

$$-\frac{\pi}{2} U_{BC} = |e^{-j\pi/2}| = -j1.$$

Bir fazali nosimmetrik yuklama matritsasini yozishda A faza toki nolga teng. B faza -  $I_{bc}$  ga va C faza -  $I_{bc}$  ga teng deb hisoblaymiz.  $S_{b,f}=|01-11|$ .

Unda nosimmetrik yuklama toklaridan transformator chulg'amlaridagi tok matritsasi quyidagi ko'rinishda bo'ladi:

$$I_{NC} = \frac{\sqrt{3}S_{bc}}{U_{bc}} * S_{BF} = \sqrt{3} * \frac{(5-j2)}{16*j1} - |01-1| = \sqrt{3}(0,125 + j0,312)|0-j1|.$$

Nosimmetrik yuklamadan toklarning tegishli simmetrik tashkil etuvchilarini:

$$I_{NCS} = S^{-1} I_{NC} = \frac{\sqrt{3}}{3} |11aa^21a^2a1| * |0-11| X(0,125 + j0,312) = |-jj0|(0,125 + j0,312).$$

Transformator fazalaridagi toklar simmetrik va nosimmetrik yuklamalar uchun to'g'ri ketma-ketlik toklarining yig'indisi va

nosimmetrik yuklamada teskari ketma-ketlik toklari bilan aniqlanadi. Bunda transformator har xil ulanish sxemasiga egaligini hisobga olish kerak: birlamchi betaraf nuqtasi yerlangan yulduz shaklida, ikkilamchi esa uchburchak shaklida. Shuning uchun to‘g‘ri ketma-ketlik va teskari ketma-ketlik toklari yig‘indisida oldinga o‘tuvchi  $P/6$  faza bo‘yicha o‘zgarishi kerak:

$$I_T = [(1,25-j0,5)-j(0,125+j0,312)]|1a^2a| + j(0,125+j0,312)|1aa^2|e^{j\pi/6} = \\ |1,23-j0,674-1,12-j1,31-0,12-j1,98|.$$

Modul bo‘yicha transformator yuklamalarining faza toklari teng:  $I_T = |1,4*1,72*1,98|$ .

Shunday qilib, transformator uchala faza yuklamalari har xil, ammolarning ikkala transformator nominal quvvat qiymati 2 dan oshmaydi.

Eng kam quvvat tartibida bitta transformator o‘chirilgan. Simmetrik yuklama tartibida quvvat quyidagiga teng:  $S_{N\Sigma} = 10+j10 = 10$  MVA (ulangan BK hisobga olib).

Transformatorning fazalaridagi toklari:

$$I_T = [0,625-j(0,125+j0,312)]|1a^2a| \\ I_T = [0,625-j(0,125+j0,312)]|1a^2a| + |-0,332-j0,049-0,208- \\ j0,264+0,124+ +j0,313| = |0,605-j0,174-0,377-j1,006-0,230+j1,19|. \\ \text{yoki modul bo‘yicha } I_T = |0,62*1,07*1,21|.$$

Eng kam yuklama tartibida faza C 20 % ga o‘ta yuklangan, B fazasi esa 7 %. Ushbu holatda transformator ishlashi mumkinligini, bu tartibning uzoq vaqtligini mahalliy sharoitlar hal qiladi.

### **Nosimmetriyani aniqlash uchun namunali misollar**

4.1-misol.  $\cos\varphi=1$  bo‘lgan 3 MVA va 5 MVA li bir fazali pechlar 6 kV li  $U_{AB}$  va  $U_{BC}$  liniyali kuchlanishlarga ulangan. 6 kV li shinadagi  $S_K=180$  MVA.  $\varepsilon_e$  ning qiymatini aniqlang. Agar zarur bo‘lsa, CK ning parametrlerini hisoblang.

Yechish. Nosimmetriyali yuklamaning teskari ketma-ketlik toki:

$$I_e = I_{e\Sigma} = \frac{\sqrt{3}}{3U_{nom}} \sqrt{S_{AB}^2 + S_{BC}^2 - S_{AB} * S_{BC}} = \frac{\sqrt{3}}{3*6} \sqrt{3000^2 + 5000^2 - 3000 * 5000} = \\ = 419 A$$

$$\varphi_e = \varphi_{e\Sigma} = \operatorname{arctg} \frac{\sqrt{3}}{3} \frac{S_{AB} + S_{BC}}{S_{AB} - S_{BC}} = \operatorname{arctg} \frac{\sqrt{3}}{3} \frac{3+5}{3-5} = 113^\circ.$$

Teskari ketma-ketlik koeffitsiyenti:

$$\varepsilon_e = \frac{\sqrt{3} * I_e * U_{nom}}{S_k} * 100\% = \frac{\sqrt{3} * 419 * 6}{180 * 10^3} * 100\% = 2,4\%.$$

Nosimmetriyani to‘liq yo‘qotish uchun kerak KB quvvati:

$$Q_\Sigma = \sqrt{3} U_{nom} I_e (\sqrt{3} * \sin \varphi_{2\Sigma} - \cos \varphi_{2\Sigma}) = 3 * 419 * 6 (\sqrt{3} \sin 113^\circ - \cos 113^\circ) = \\ = 8,64 MVar$$

KB quvvatining taqsimlanishi:

$$Q_{BC} = \frac{2}{3 - \sqrt{3} \operatorname{ctg} \varphi_{e\Sigma}} Q_\Sigma = \frac{2}{3 - \sqrt{3} \operatorname{ctg} 113^\circ} * 8,64 = 4,63 MVar .$$

$$Q_{CA} = 8,64 - 4,63 = 4,01 MVar .$$

Yechim to‘g‘riligini tekshirish.

CK teskari ketma-ketlik toki:

$$I_{eCK} = \frac{\sqrt{3}}{3 * U_{nom}} \sqrt{Q_{BC}^2 + Q_{CA}^2 - Q_{BC} * Q_{CA}} = \frac{\sqrt{3}}{3 * 6} \sqrt{4,63^2 + 4,01^2 - 4,63 * 4,01} = 4,19 A$$

Tokning boshlang‘ich fazasi:

$$\varphi_{eCK} = \operatorname{arctg} \frac{\sqrt{3}}{3} \frac{2Q_{CA} - Q_{BC}}{Q_{BC}} - \varphi_{CK} = \operatorname{arctg} \frac{\sqrt{3}}{3} \frac{2 * 4,01 - 4,63}{4,63} + 90^\circ = 293^\circ .$$

$$\varphi_{eCK} - \varphi_e = 293^\circ - 113^\circ = 180^\circ .$$

CK parametrlarining to‘g‘ri tanlanganligini tasdiqlaydi.

4.2-misol. Oldin keltirilgan misol uchun filtrli kompensatsiya qurilmasini  $K_{NC}=7,6\%$  tanlang.

Garmonika manbai 12 fazali BO‘. BO‘ generatsiya qiladigan  $I_{11}=145$  A,  $I_{13}=122$  A. Yu.G ning nisbiy qiymati  $U_{11}^*=5,8\%$ ,  $U_{13}^*=4,9\%$ .

Yechish. Oldingi misol yechimidan KB quvvatini simmetriyalash sharti bilan tanlaymiz.  $Q_{BC}=4,63$  MVAr,  $Q_{CA}=4,01$  MVAr.

Tanlangan KB filtrlar tarkibiga kiradi,  $BC$  va  $CA$  kuchlanishlarga ularadi va  $v_p=11$  chastotaga to‘g‘rilanadi.

13-garmonikaning qoldiq kuchlanishini aniqlash uchun  $P_{BC}$  va  $P_{CA}$  koeffitsiyentlarning qiymatlarini aniqlaymiz:

$$K_{pBC} = \frac{Q_{BC}}{S_K} = \frac{4,63}{180} = 2,57 * 10^{-2};$$

$$K_{pCA} = \frac{Q_{CA}}{S_K} = \frac{4,01}{180} = 2,22 * 10^{-2};$$

$$P_{BC} = \frac{1}{1 + \frac{3K_{pBC}\nu_p^2}{1 - \nu_q^{*2}}} = \frac{1}{1 + \frac{3 * 2,57 * 10^{-2} * 11^2}{1 - (\frac{11}{13})^2}} = 0,03;$$

$$P_{CA} = \frac{1}{1 + \frac{3K_{pCA}\nu_p^2}{1 - \nu_q^{*2}}} = \frac{1}{1 + \frac{3 * 2,22 * 10^{-2} * 11^2}{1 - (\frac{11}{13})^2}} = 0,034.$$

13-garmonikaning qoldiq kuchlanishi:

$$U_{13AB}^* = \frac{\sqrt{3(P_{BC}^2 + P_{CA}^2 + P_{BC}P_{CA})}}{1 + P_{BC} + P_{CA}} * U_{13}^* = \frac{\sqrt{3(0,03^2 + 0,034^2 + 0,03 * 0,034)}}{1 + 0,03 + 0,034} * 4,9 = 0,44\%;$$

$$U_{13BC}^* = \frac{P_{BC}\sqrt{3(1 + P_{CA} + P_{CA}^2)}}{1 + P_{BC} + P_{CA}} * U_{13}^* = \frac{0,03\sqrt{3(1 + 0,034 + 0,034^2)}}{1 + 0,03 + 0,034} * 4,9 = 0,24\%;$$

$$U_{13CA}^* = \frac{P_{CA}\sqrt{3(1 + P_{BC} + P_{BC}^2)}}{1 + P_{BC} + P_{CA}} * U_{13}^* = \frac{0,034\sqrt{3(1 + 0,03 + 0,03^2)}}{1 + 0,03 + 0,034} * 4,9 = 0,27\%.$$

Filtrning har bir yelkasidan oqadigan tokning ulushi:

$$\sigma_{13.11}^{BC} = \frac{1 + 0,5(P_{CA} + P_{CA}^2)}{1 + P_{BC} + P_{CA}} = \frac{1 + 0,5(0,034 + 0,034^2)}{1 + 0,03 + 0,034} = 0,96;$$

$$\sigma_{13.11}^{CA} = \frac{1 + 0,5(P_{BC} + P_{BC}^2)}{1 + P_{BC} + P_{CA}} = \frac{1 + 0,5(0,03 + 0,03^2)}{1 + 0,03 + 0,034} = 0,95.$$

Filtr orqali oqadigan Yu.G toklarining yig‘indisi:

$$I_{\nu\Sigma}^{BC} = \sqrt{I_{11}^2 + (I_B \sigma_{13.11}^{BC})^2} = \sqrt{145 + (122 * 0,96)^2} = 1,86A;$$

$$I_{\nu\Sigma}^{CA} = \sqrt{I_{11}^2 + (I_B \sigma_{13.11}^{CA})^2} = \sqrt{145 + (122 * 0,95)^2} = 1,86A.$$

KB quvvati quyidagi shartni qoniqtirishi kerak:  
 $Q_{BC(CA)} \geq 1,2 U_{NOMKB} * I_{\nu\Sigma}^{BC(CA)} = 1,2 * 6 * 0,186 = 1,3 \text{ MVar.}$

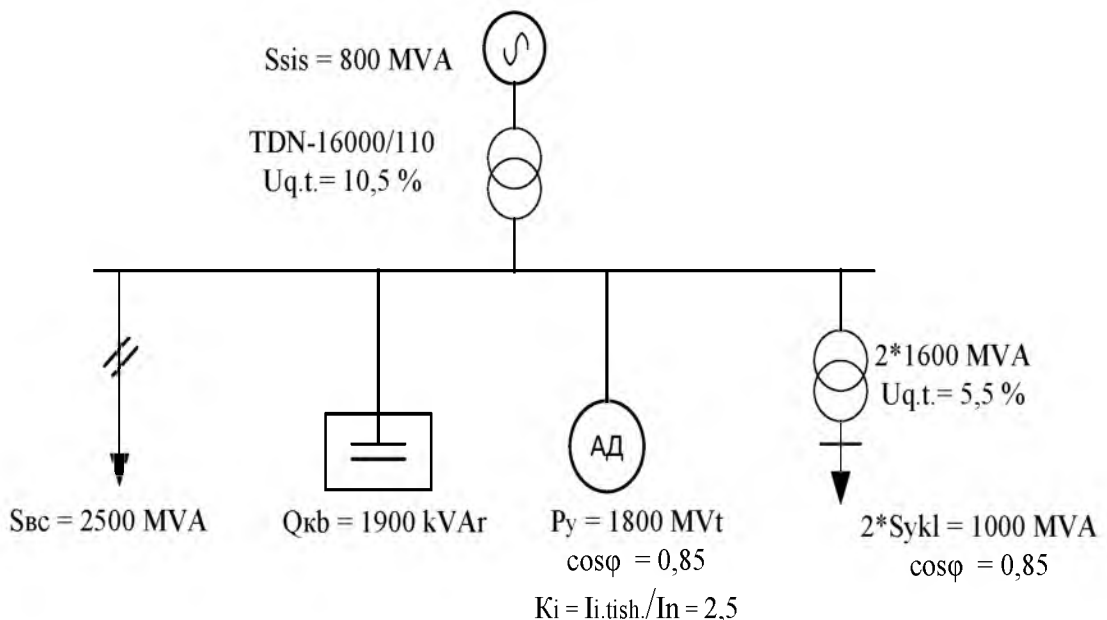
Shunday qilib, KB da tok bo‘yicha o‘ta yuklanish bo‘lmaydi.

### Mustaqil yechish uchun misollar

Nosimmetriyani aniqlash uchun misollar

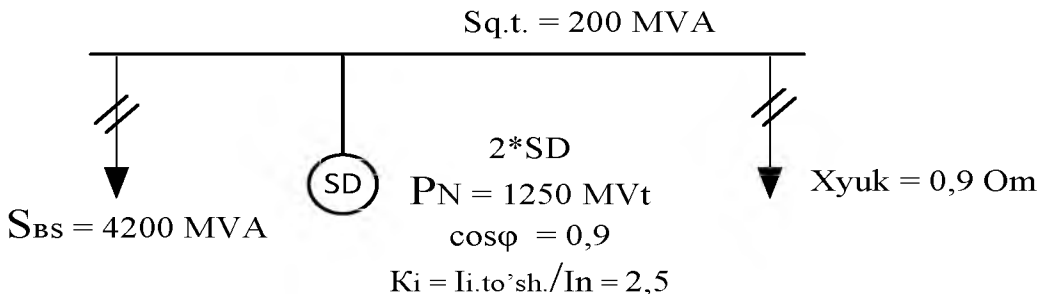
4.1-Misol. Podstansiyaning 10 kVli shinasiga quyidagi yuklamalar ulangan: uch fazali  $S_N=55 \text{ MVA}$ ; bir fazali  $S_{AB}=14,5 \text{ MVA}$ ; bir fazali  $S_{AC}=8,5 \text{ MVA}$ . Teskari ketma-ketlikda kuchlanish nosimmetriyasini aniqlang (10kvli shinadagi Q.T. quvvati  $S_{qt}=320 \text{ MVA}$ ). Ushbu shinaga  $Q_{KB}=20 \text{ MVar}$  li kondensator batareyalarini ularash mumkinligini baholang.

4.2-misol. 4.4-rasmida ko‘rsatilgan sxema uchun 10 kV li shinada kuchlanish nosimmetriyasining teskari ketma-ketligini aniqlang va uni ruxsatlangan qiymat bilan taqqoslang.



4.4-rasm. Hisoblash uchun prinsipial sxema

4.3-misol. 4.5-sxema uchun nosimmetriyaning ruxsat etilishini baholang.



4.5-rasm. Nosimmetriyani aniqlash uchun prinsipial sxema

4.4-misol. Termik sexning taqsimlash punkti TP-10 kV ga bir fazali qarshilik pechi  $P_{BC}=2500 \text{ kVt}$  ulangan. 10 kV li ushbu shinaga yana uch fazali yuklama  $P_{YU}=5000 \text{ kVt}$ ,  $Q_{YU}=5000 \text{ kVAR}$  va  $Q_{KB}=2700 \text{ kVAR}$  ulangan. Kuchlanishning teskari ketma-ketlik nosimmetriya koeffitsiyentini aniqlang. ГОСТ 1309-97 ruxsatlangan  $K_{2U}$  bilan taqqoslang, agar kerak bo'lsa, 10 kV tarmoqda kamaytirish chora-tadbirlarini ishlab chiqing.

4.5-misol. Taqsimlash qurilmasiga quyidagi yuklamalar ulangan (1.3-rasm): uch fazali simmetrik quvvat  $S_{sim}=30 \text{ MVA}$  har xil faza ulangan ikkita bir fazali  $S_{AB}=16 \text{ MVA}$ ,  $S_{BC}=25 \text{ MVA}$ ,  $Q_{SKB}=28 \text{ MVAR}$  li statik kondensator batareyasi ulangan. Taqsimlovchi qurilma shinasidagi qisqa tutashuv quvvati  $S_{QT}=1500 \text{ MVA}$  Kuchlanishning teskari ketma-ketligi nosimmetriya koeffitsiyentini aniqlash va uni ruxsatlanganligini baholash uchun talab etiladi.

### Nazorat savollari

1. Kuchlanish nosimmetriyasi qanday ko'rsatkichlar bilan tavsiflanadi?
2. Teskari ketma-ketlik bo'yicha nosimmetriya koeffitsiyenti nima?
3. Kuchlanishning nosimmetriya hisobi qanday?

## Nazorat savollari

1. Elektr energiyaning sifat ko‘rsatkichlari deganda nima tushuniladi?
2. ГОСТ bilan elektr energiyaning qanday ko‘rsatkichlari me’yorlanadi?
3. Elektr energiya sifat ko‘rsatkichlarining buzilish sabablarini ayting?
4. Sifatsiz elektr ta’midotidan iqtisodiy zararni baholash nimadan iborat bo‘ladi?
5. Qanday hisobiy oraliqda ES me’yoriy ko‘rsatilgan ko‘rsatkichlarning to‘g‘ri kelishi baholanadi?
6. Qaysi holatda elektr tarmog‘ining umumiy ulangan tugunidagi kuchlanishning o‘rnatilgan og‘ishi ГОСТ talablariga javob beradi?
7. Qaysi ko‘rsatkichlar bo‘yicha kuchlanishning nosinusoidalligi va nosimmetriyasi tavsiflanadi?
8. Kuchlanish va chastotaning og‘ishi elektr iste’molchilarining ishlashiga qanday ta’sir qiladi?
9. ГОСТ bo‘yicha kuchlanish va chastotaning og‘ishiga qanday talablar qo‘yiladi?
10. Kuchlanishning tebranishini keltirib chiqaradigan manbalarni ayting? Har xil iste’molchilarining ishlashiga kuchlanishning tebranishi qanday ta’sir ko‘rsatadi?
11. Kuchlanishning tebranishiga ГОСТ bo‘yicha qanday talab qo‘yiladi?
12. ГОСТ bo‘yicha kuchlanish nosimmetriyasiga qanday talablar qo‘yiladi?
13. Elektr iste’molchilarining ishlashiga nosimmetriya qanday ta’sir ko‘rsatadi?
14. ГОСТ bo‘yicha kuchlanish nosinusoidalligiga qanday talablar qo‘yiladi?
15. Elektr iste’molchilarining ishlashiga kuchlanish nosinusoidalligi qanday ta’sir ko‘rsatadi?
16. Kondensator batareyalarining yuqori garmonika toklari bilan o‘ta yuklanishini qanday baholash mumkin?
17. Elektr tarmog‘idagi yuklamalarni almashtirish sxemasida qanday ko‘rsatish mumkin?
18. Induktivlik va sig‘imga ega bo‘lgan elektr tarmog‘ida qaysi holatda tok rezonansi yuzaga keladi? Rezonans yuzaga kelishi mumkin bo‘lgan garmonika raqamini qanday aniqlash mumkin?
19. Qanday tadbirlar elektr energiya sifatini oshiradi?

## **FOYDALANILGAN ADABIYOTLAR RO‘YXATI**

- 1. Zelenko I and Sayenko Y** “Economic aspects of the problem of higher harmonics in power supply EPN 98” Zielona Gora S. 59-67.
- 2. Qodirov T.M., Alimov X.A.** Sanoat korxonalarining elektr ta’minoti. O‘quv qo’llanma - Toshkent: 2006.
- 3. Жежеленко И.В.** Высшие гармоники в системах электроснабжения промышленных предприятий – М: Энергоатомиздат, 2000.
- 4. ГОСТ 13109-97.** Электрическая энергия. Совместимость технических средств электромагнитная. Нормы качества электрической энергии в системах электроснабжения общего назначения. – М.: Изд-во стандартов, 1997.
- 5. Кудрин Б.И.** Основы электроснабжения промышленных предприятий/Б.И.Кудрин[и др.]. – М.: Энергоатомиздат, 2003.
- 6. Кочкин В.И.** Применение статических компенсаторов реактивной мощности в электрических сетях энергосистем и предприятий/В.И.Кочкин, О.П.Нечаев. - М.: Изд-во НЦ ЭНАС, 2000.
- 7. Карташов И.И.** Качество электроэнергии в системах электроснабжения. Способы его контроля и обеспечения учеб. пособие/И.И.Карташов.-М.:изд-во МЭИ, 2001.

## MUNDARIJA

KIRISH.....	3
1-AMALIY MASHG'ULOT KUCHLANISH OG'ISHINI HISOBLASH VA QIYMATINI BAHOLASH.....	7
2-AMALIY MASHG'ULOT RUXSAT ETILGAN KUCHLANISH TEBRANISHINI BAHOLASH.....	12
3-AMALIY MASHG'ULOT KUCHLANISH NOSINUSOIDALLIGINI HISOBLASH.....	18
4-AMALIY MASHG'ULOT KUCHLANISH NOSIMMETRIYASINI HISOBLASH.....	39
FOYDALANILGAN ADABIYOTLAR RO'YXATI.....	57

Muharrir: Sidikova K.  
Musahhih: Miryusupova Z.